

第五章 机械的效率和自锁

§ 5—1 机械的效率

§ 5—2 机械的自锁

本章内容:

1. 基本要求

- ①理解机械效率 η 的概念，掌握机械效率的各种表达形式和计算方法。
- ②理解机械自锁的概念，以及求简单机械自锁的几何条件。

2. 重点难点

机械效率的计算，机械自锁条件的确定。

第五章 机械的效率和自锁

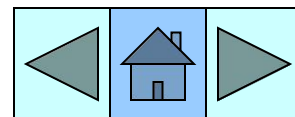
§ 5-1 机械的效率

关于机械系统中，**输入功**、**输出功**、**损失功**的解释：

输入功—在一个机械系统中，驱动力（或驱动力矩）所作的功称为输入功，用 W_d 表示；

输出功—在一个机械系统中，克服工作阻力（或驱动力矩）所作的功，称为输出功，用 W_r 表示；

损失功—在一个机械系统中，克服有害阻力（如摩擦阻力、空气阻力等）所作的功，称为损失功，用 W_f 表示；



§ 5-1 机械的效率

一、机械运转时的功能关系

1. 动能方程

机械运转时，所有作用在机械上的力都要做功，由能量守恒定律知：所有外力之功等于动能增量

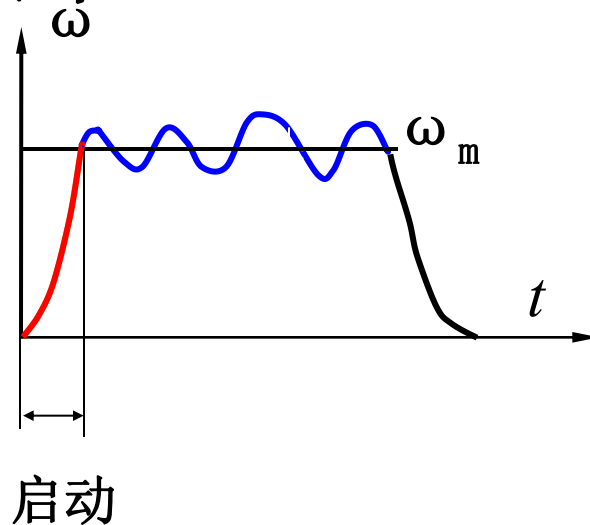
$$\begin{array}{ccccccc} & \boxed{W_d} & - & \boxed{W_r} & - & \boxed{W_f} & = & \boxed{E - E_0} \\ & \swarrow & & \swarrow & & \swarrow & & \swarrow \\ \text{驱动功} & & & \text{有效功} & & \text{损失功} & & \text{动能增量} \end{array}$$

2. 机械的运转（过程）

a) 启动阶段 速度 $0 \rightarrow \omega$, 动能 $0 \rightarrow E$

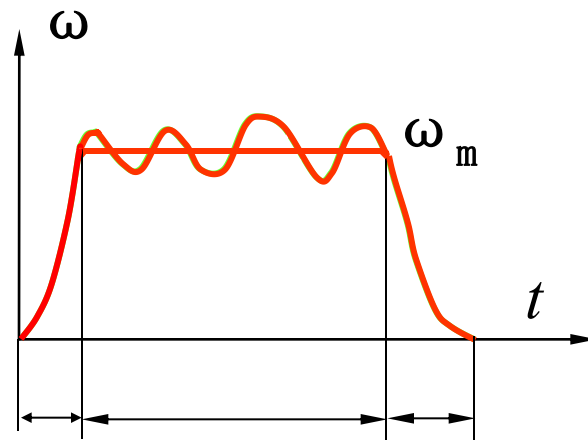
$$W_d - W_r - W_f = E - 0 > 0$$

输入功大于有效功与损失功之和。



b) 稳定运转阶段

① 变速稳定阶段 ω 在 ω_m 上下
周期波动, $\omega(t) = \omega(t + T_p)$



启动 稳定运转 停止

在一个循环内有: $\Delta E = 0$

$$W_d - W_r - W_f = E - E_0 = 0 \rightarrow W_d = W_r + W_f$$

② 匀速稳定阶段 $\omega = \text{常数}$, 任意时刻都有:

$$W_d - W_r - W_f = E - E_0 = 0 \rightarrow W_d = W_r + W_f$$

输入功总是等于有效功与损失功之和。

c) 停车阶段 $\omega \rightarrow 0$

$$W_d - W_r - W_f = E - E_0 < 0$$

输入功小于有效功与损失功之和。

二、机械的效率(mechanical efficiency)

机械在稳定运转时期，**输入功**等于**输出功**与**损耗功**之和，即：

$$W_d = W_r + W_f$$

1. 定义：

$$\eta = W_r / W_d$$

效率有**瞬时效率**和**平均效率**(简称效率)之分，前者指在任一瞬时能量的利用程度，而后者则指在一个运动周期中所有瞬时效率的平均值。

2. 性质 $\eta = W_r / W_d$ $0 < \eta < 1$

分析： η 总是小于 1，当 W_f 增加时将导致 η 下降。

设计机械时，尽量减少摩擦损失，措施有：

- a) 用滚动代替滑动 b) 考虑润滑 c) 合理选材

二、机械的效率(mechanical efficiency)

3. 表示方法

a. 功表示

$$\eta = W_r / W_d = (W_d - W_f) / W_d = 1 - W_f / W_d$$

$$(W_f \nearrow \rightarrow \eta \searrow)$$

($\eta = 1$ ——理想机器——永动机)

b. 功率表示

$$\eta = (W_r/t) / (W_d/t) = P_r / P_d = (P_d - P_f) / P_d$$

$$\text{令: } \xi = \frac{P_f}{P_d} = \frac{W_f}{W_d}$$

$$= 1 - P_f / P_d$$

ξ —— 机械损失系数

$$\eta + \xi = 1$$

由于机械摩擦不可避免, 故必有: $\xi > 0, \eta < 1$

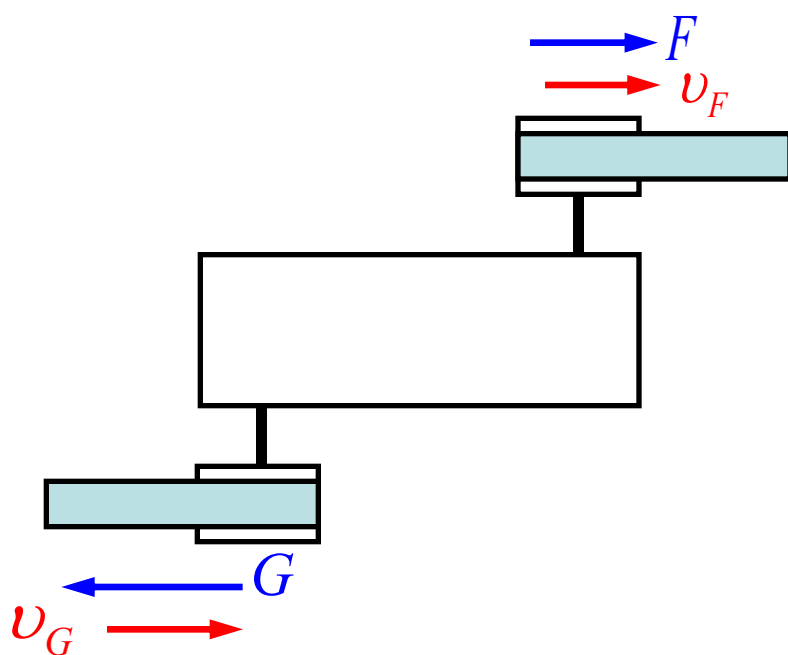
图5-1为机械传动装置的示意图

设 F 为驱动力， G 为生产阻力，

V_F 、 V_G 分别为 F 、 G 作用点沿该力作用线方向的分速度，其效率

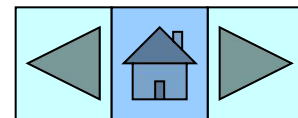
为：

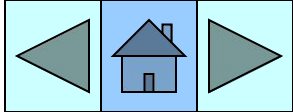
$$\eta = \frac{P_r}{P_d} = \frac{Gv_G}{Fv_F} \quad (\text{a})$$



为了将上式简化，引入理想机械的概念，即在理想机械中不存在摩擦，当工作阻力为 G 时，所需的驱动力为理想驱动力 F_0 。由于理想机械不存在摩擦，显然理想驱动力 F_0 小于实际驱动力 F ，此时机械的效率为：

$$\eta_0 = \frac{P_r}{P_d} = \frac{Gv_G}{F_0v_F} = 1 \quad \Rightarrow \quad Gv_G = F_0v_F \quad (\text{b})$$





将 (b) 代入 (a) 中

$$\left\{ \begin{array}{l} Gv_G = F_0v_F \quad (\text{a}) \\ \eta = \frac{P_r}{P_d} = \frac{Gv_G}{Fv_F} \quad (\text{b}) \end{array} \right. \Rightarrow \eta = \frac{F_0v_F}{Fv_F} = \frac{F_0}{F} \quad (\text{c})$$

如用力矩表示, 则有: $\eta = \frac{M_0}{M} \quad (\text{d})$

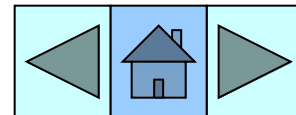
综合 (c)、(d), 可得到:

$$\eta = \frac{\text{理想驱动力}}{\text{实际驱动力}} = \frac{\text{理想驱动力矩}}{\text{实际驱动力矩}} \quad \eta = \frac{F_0}{F} = \frac{M_0}{M}$$

效率也可用阻力或阻力矩表示为:

$$\eta = \frac{\text{实际工作阻力}}{\text{理想工作阻力}} = \frac{\text{实际工作阻力矩}}{\text{理想工作阻力矩}} \quad \eta = \frac{G}{G_0} = \frac{M'}{M'_0}$$

小结:



用驱动力或驱动力矩表示的效率公式为:

$$\eta = \frac{F_0}{F} = \frac{M_0}{M}$$

用工作阻力或工作阻力矩表示的效率公式为:

$$\eta = \frac{G}{G_0} = \frac{M'}{M'_0}$$

F_0 、 M_0 — 理想驱动力、理想驱动力矩;

F 、 M — 实际驱动力、实际驱动力矩;

G_0 、 M'_0 — 理想工作阻力、理想工作阻力矩;

G 、 M' — 实际工作阻力、实际工作阻力矩;

以上为机械效率的算法，但在实际设计中，更常用到的是实验法和经验法，即确定机械效率的三种方法分别为：

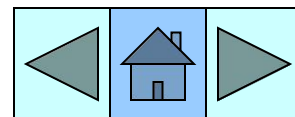
算法

实验法—适用于创新机器产品、无经验可循的效率确定；

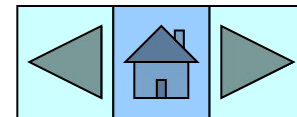
经验法—适用于传统机械产品设计。

三种不同机器组合的效率计算

- (1) 串联组合机器的效率计算
- (2) 并联组合机器的效率计算
- (3) 混联组合机器的效率计算

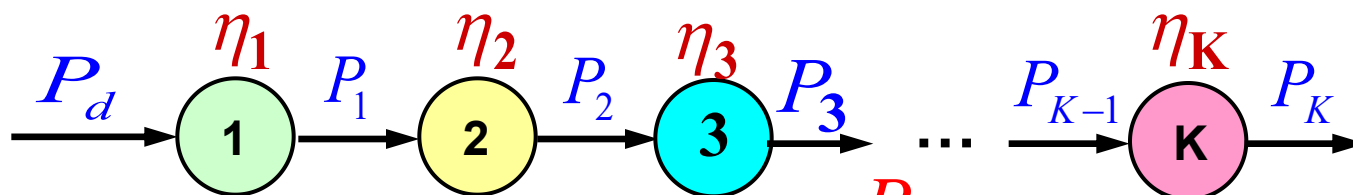


(1) 串联组合机器的效率计算



串联组合机器传递功率的特点：

前一机器的输出功率为后一机器的输入功率。



串联组合机器的总效率 $\eta = \frac{P_K}{P_d}$

$$\eta_1 = \frac{P_1}{P_d} \quad \eta_2 = \frac{P_2}{P_1} \quad \eta_3 = \frac{P_3}{P_2} \quad \eta_K = \frac{P_K}{P_{K-1}}$$

$$\frac{\cancel{P_1}}{P_d} \cdot \frac{\cancel{P_2}}{\cancel{P_1}} \cdot \frac{\cancel{P_3}}{\cancel{P_2}} \cdot \frac{P_K}{\cancel{P_{K-1}}} = \eta_1 \cdot \eta_2 \cdot \eta_3 \cdots \eta_K = \frac{P_K}{P_d} = \eta$$

▲ 总效率为各机器效率的连乘积。即： $\eta = \eta_1 \cdot \eta_2 \cdot \eta_3 \cdots \eta_K$

▲ 串联机器中任一机器的效率很低，都会使整部机器的效率很低；

▲ 串联的机器数目越多，效率越低。

(2) 并联组合机器的效率计算

各机器的输入功率为: P_1 、 $P_2 \dots P_K$,

输出功率为: $P'_1 = P_1 \cdot \eta_1$ $P'_2 = P_2 \cdot \eta_2$ $P'_K = P_K \cdot \eta_K$

并联机组的特点:

✘ 机组的输入功率为各机器输入功率之和; P_d 一机器的输入功率

$$P_d = P_1 + P_2 + P_3 + \dots + P_K$$

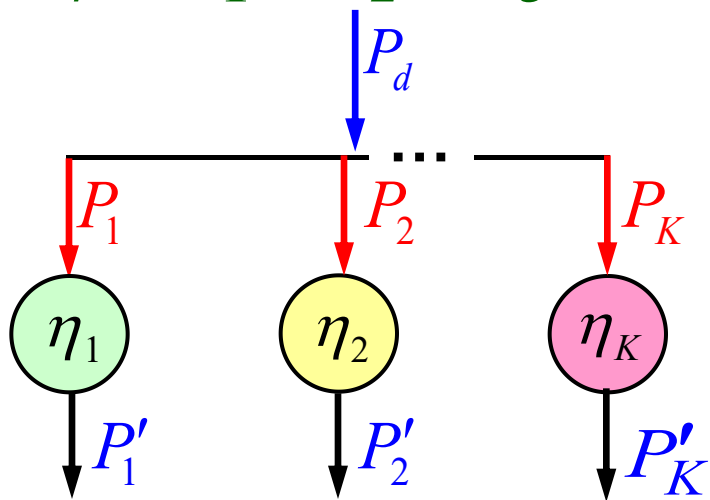
P_r 一机器的输出功率

✘ 机组的输出功率为各机器输出功率之和;

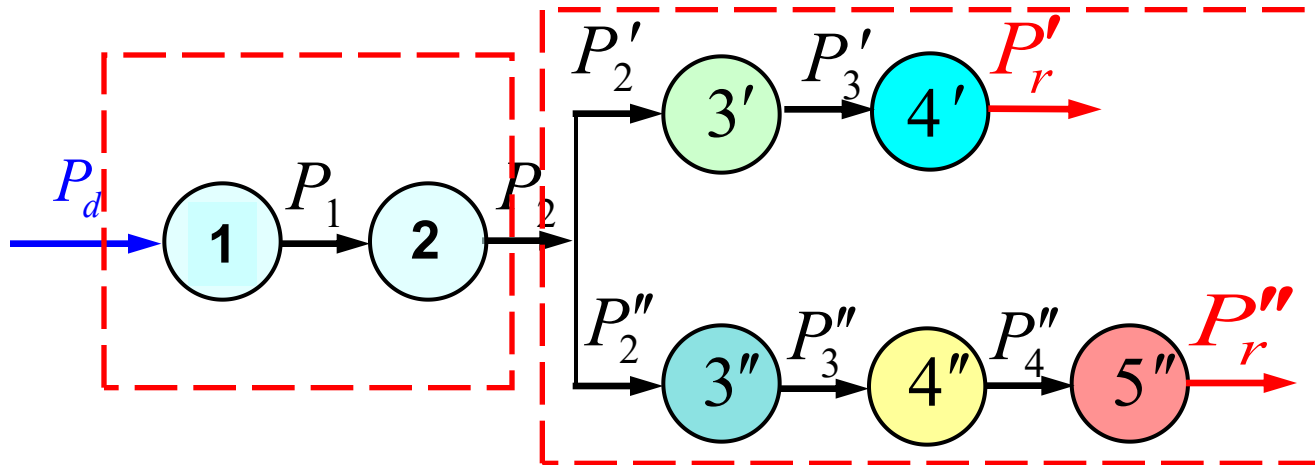
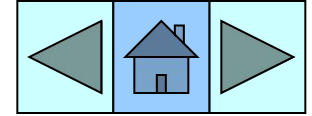
$$P_r = P'_1 + P'_2 + P'_3 + \dots + P'_K$$

并联组合机器的总效率

$$\begin{aligned} \eta &= \frac{P_r}{P_d} = \frac{\sum P_{ri}}{\sum P_{di}} = \frac{P'_1 + P'_2 + \dots + P'_K}{P_1 + P_2 + \dots + P_K} \\ &= \frac{P_1 \eta_1 + P_2 \eta_2 + \dots + P_K \eta_K}{P_1 + P_2 + \dots + P_K} \end{aligned}$$



(3) 混联组合机器的效率计算



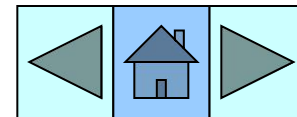
混联组合机器的总效率

$$\eta = \frac{\sum P_r}{\sum P_d} = \eta' \cdot \eta''$$

η' —串联机构的效率

η'' —并联机构的效率

本章要点提示:



1. 效率的一般表达式

(1) 用驱动力（或驱动力矩）表示 $\eta = \frac{F_0}{F} = \frac{M_0}{M}$

$$\eta = \frac{\text{理想驱动力}}{\text{实际驱动力}} = \frac{\text{理想驱动力矩}}{\text{实际驱动力矩}}$$

(2) 用阻力（或阻力矩）表示 $\eta = \frac{G}{G_0} = \frac{M'}{M'_0}$

$$\eta = \frac{\text{实际工作阻力}}{\text{理想工作阻力}} = \frac{\text{实际工作阻力矩}}{\text{理想工作阻力矩}}$$

2. 三种不同机器组合的效率计算

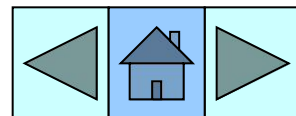
(1) 串联组合机器的效率计算 $\eta = \eta_1 \cdot \eta_2 \cdots \eta_K$

(2) 并联组合机器的效率计算

$$\eta = \frac{\sum P_{ri}}{\sum P_{di}} = \frac{P_1\eta_1 + P_2\eta_2 + \cdots + P_K\eta_K}{P_1 + P_2 + \cdots + P_K}$$

(3) 混联组合机器的效率计算

$$\eta = \frac{\sum P_r}{\sum P_d} = \eta' \cdot \eta''$$



例1 在图5-4所示的机械传动中，设各传动机构的效率分别为

$$\eta_1 = \eta_2 = 0.98, \eta'_3 = \eta'_4 = 0.96, \eta''_3 = \eta''_4 = 0.94, \eta''_5 = 0.42;$$

并已知输出的功率分别为 $P'_r = 5KW$, $P''_r = 0.2KW$.

求该机械传动装置的机械效率。

解: $P_d = P'_d + P''_d$

由于1、2、3'、4'为串联，故：

$$P'_r = P'_d \cdot \eta_1 \cdot \eta_2 \cdot \eta'_3 \cdot \eta'_4$$

$$\Rightarrow P'_d = P'_r / \eta_1 \cdot \eta_2 \cdot \eta'_3 \cdot \eta'_4 = 5 / 0.98^2 \times 0.96^2 = 5.649KW$$

而机构 1、2、3''、4''、5''也为串联，故：

$$P''_d = P''_r / \eta_1 \cdot \eta_2 \cdot \eta''_3 \cdot \eta''_4 \cdot \eta''_5 = 0.2 / (0.98^2 \times 0.94^2 \times 0.42) = 0.561KW$$

机构的总效率为：

$$\eta = \frac{\sum P_r}{\sum P_d} = \frac{P'_r + P''_r}{P'_d + P''_d} = \frac{5 + 0.2}{5.649 + 0.561} = 0.837$$

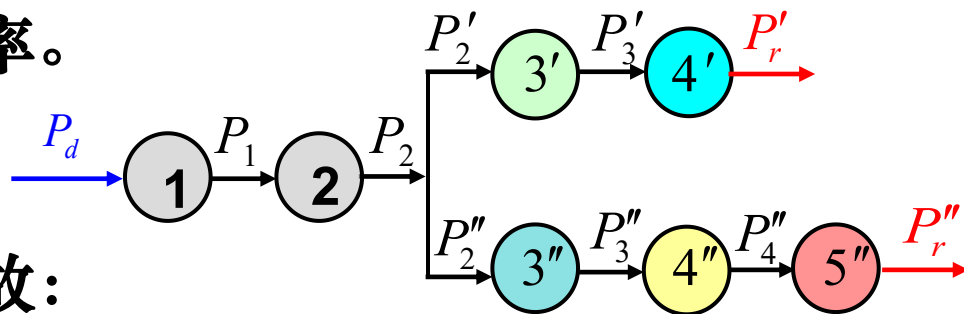
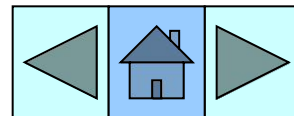


图5-4



例2 在图示的电动卷扬机中，已知其每一对齿轮的效率 η_{12} 、 $\eta_{2'3}$ 以及鼓轮的效率 η_4 均为0.95，滑轮的效率 η_5 为0.96，载荷 $Q = 50000N$ 。其上升的速度 $V=12m/min$ ，求电机的功率？

解：该机构为串联机构

1. 串联机构的总效率各级效率的连乘积，故机构总效率：

$$\eta = \eta_{12} \cdot \eta_{2'3} \cdot \eta_4 \cdot \eta_5$$

$$= 0.95^3 \times 0.96 = 0.82$$

2. 求机构的工作功率

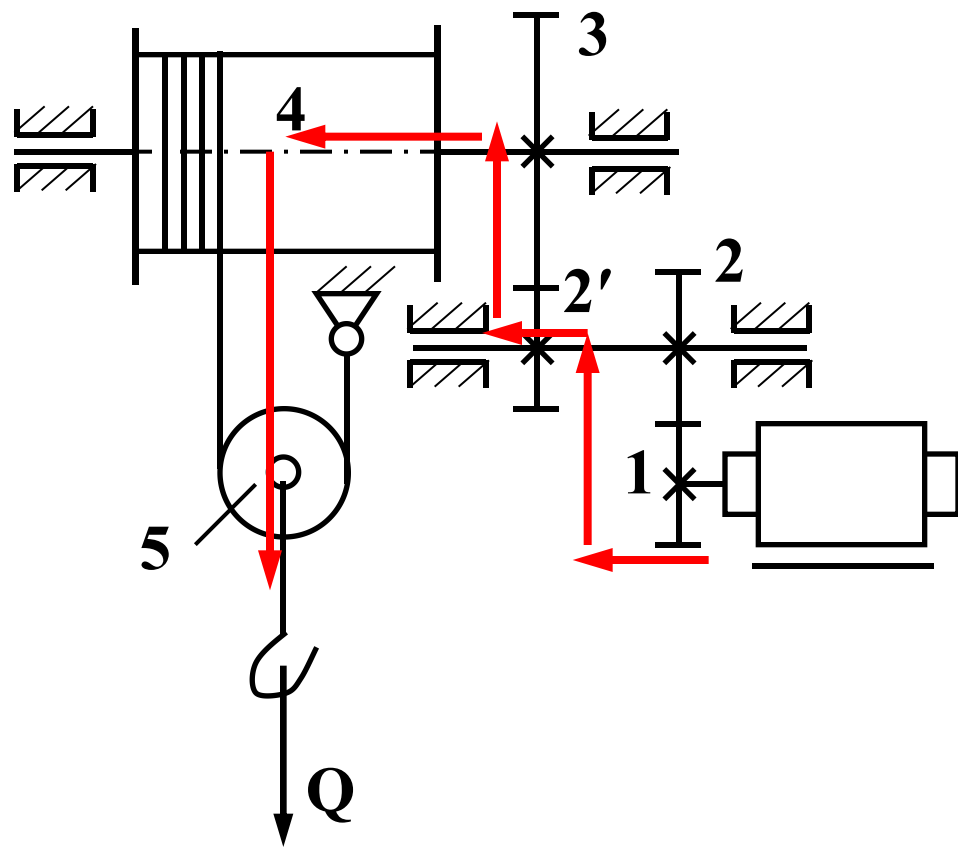
载荷上升的速度：

$$v = 12m/min = \frac{12}{60} = 0.2m/s$$

机构的工作功率为：

$$P_r = Q \cdot v = 50000 \times 0.2 = 10000KW$$

3. 电机的功率为：

$$P_d = \frac{P_r}{\eta} = \frac{10000}{0.82} = 12195KW$$


例3 减速箱如图所示，已知每一对圆柱齿轮和圆锥齿轮的效率分别为0.95 和 0.92，求其总效率 η 。

解：1. 分析传动路线。减速箱分两路输出：

① 电机 \rightarrow 齿轮1、2 \rightarrow 3、4 \rightarrow 5、6 \rightarrow 7、8

② 电机 \rightarrow 齿轮1、2 \rightarrow 9、10 \rightarrow 11、12 \rightarrow 13、14

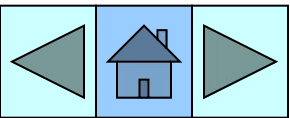
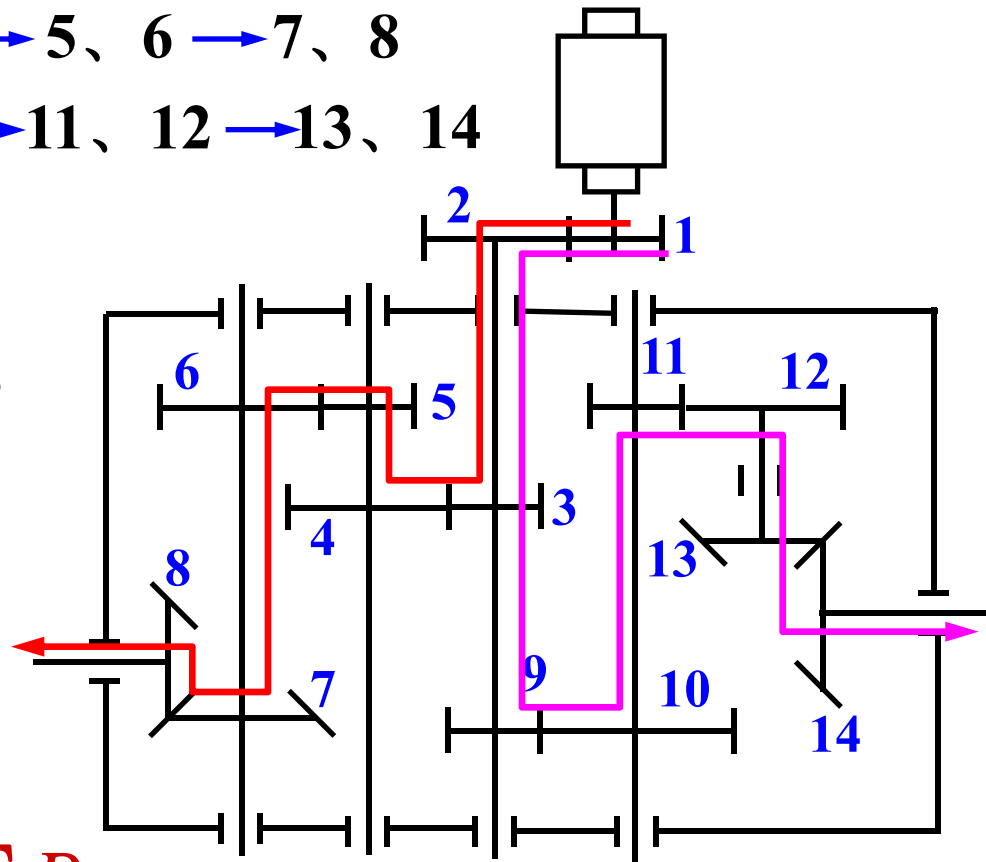
2. 每一路的总效率分别为：

$$\begin{aligned}\eta_{1-8} &= \eta_{1-2} \cdot \eta_{3-4} \cdot \eta_{5-6} \cdot \eta_{7-8} \\ &= 0.95^3 \times 0.92 = 0.79\end{aligned}$$

$$\begin{aligned}\eta_{1-14} &= \eta_{1-2} \cdot \eta_{9-10} \cdot \eta_{11-12} \cdot \eta_{13-14} \\ &= 0.95^3 \times 0.92 = 0.79\end{aligned}$$

3. 整个机构的总效率为：

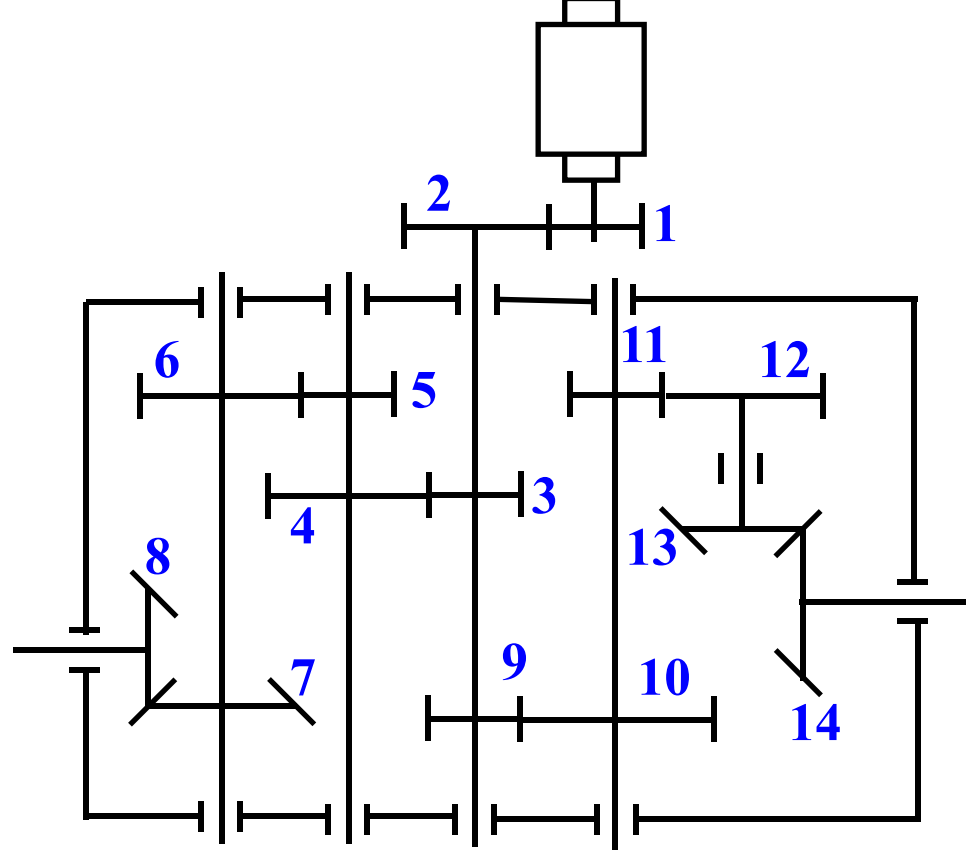
$$\eta = \frac{\sum P_{ri}}{\sum P_{di}}$$



$$\eta = \frac{\sum P_{ri}}{\sum P_{di}}$$

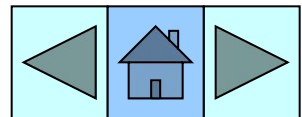
$$\sum P_{ri} = P_8 + P_{14}$$

$$\sum P_{di} = \frac{P_8}{\eta_{1-8}} + \frac{P_{14}}{\eta_{1-14}}$$



$$\eta = \frac{\sum P_{ri}}{\sum P_{di}}$$

$$= \frac{P_8 + P_{14}}{\frac{P_8}{\eta_{1-8}} + \frac{P_{14}}{\eta_{1-14}}} = \frac{P_8 + P_{14}}{\frac{P_8}{0.79} + \frac{P_{14}}{0.79}} = 0.79 = 79\%$$



例4 在图示的滚柱传动机构中，已知其局部效率 $\eta_{1-2}=0.95$ ， $\eta_{3-4}=\eta_{5-6}=\eta_{7-8}=\eta_{9-10}=0.93$ ，求该机构的效率 η 。

解：1. 分析机构

该机构为混联机构

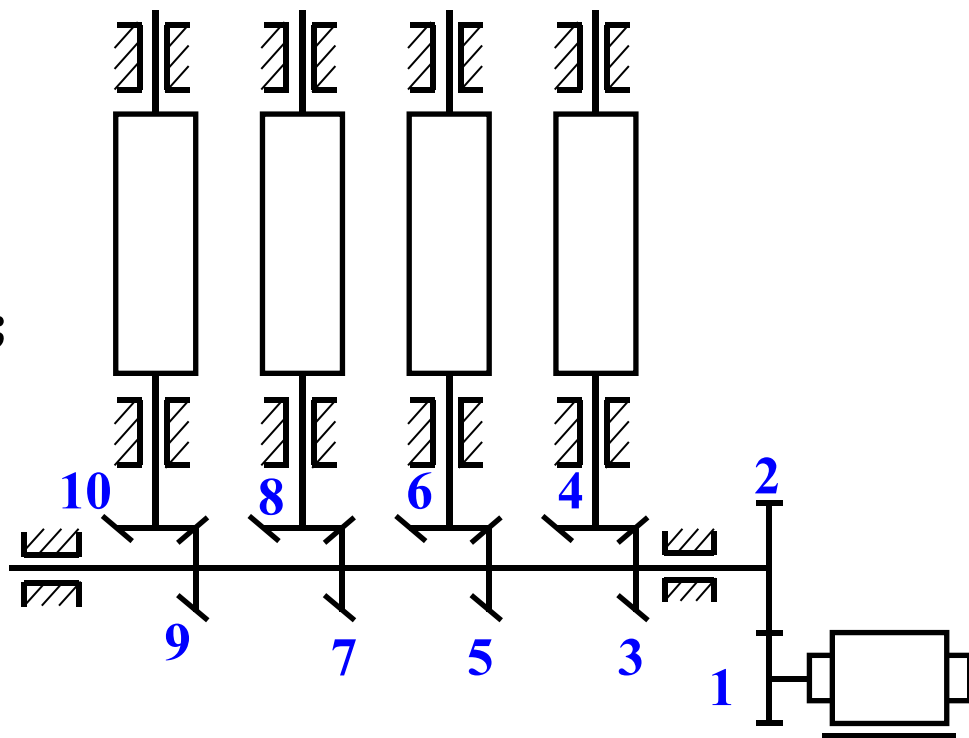
串联部分：圆柱齿轮1、2

并联部分：锥齿轮3、4；5、6；7、8；9、10。

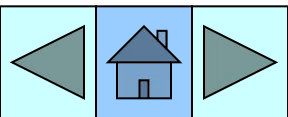
2. 分别计算效率

(1) 串联部分： $\eta_{1-2}=0.95$

(2) 并联部分：



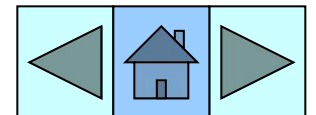
$$\eta_{3-10} = \frac{P_4 + P_6 + P_8 + P_{10}}{\frac{P_4}{\eta_{3-4}} + \frac{P_6}{\eta_{5-6}} + \frac{P_8}{\eta_{7-8}} + \frac{P_{10}}{\eta_{9-10}}}$$



$$\begin{aligned}
 \eta_{3-10} &= \frac{P_4 + P_6 + P_8 + P_{10}}{\frac{P_4}{\eta_{3-4}} + \frac{P_6}{\eta_{5-6}} + \frac{P_8}{\eta_{7-8}} + \frac{P_{10}}{\eta_{9-10}}} \\
 &= \frac{P_4 + P_6 + P_8 + P_{10}}{\frac{P_4}{0.93} + \frac{P_6}{0.93} + \frac{P_8}{0.93} + \frac{P_{10}}{0.93}} = 0.93
 \end{aligned}$$

3. 总效率

$$\begin{aligned}
 \eta &= \eta_{1-2} \cdot \eta_{3-10} = 0.95 \times 0.93 \\
 &= 0.8835 = 88.35\%
 \end{aligned}$$



§ 5—2 机械的自锁

自锁的定义：

无论驱动力多么大，都不能超过由它所产生的摩擦阻力，也无法使机械运动的现象称为**机械的自锁**。

工程意义：设计新机械时，应避免在运动方向出现自锁，而有些机械要利用自锁进行工作(如**千斤顶**等)。

$$\diamond \quad \eta = \frac{W_r}{W_d} = \frac{W_d - W_f}{W_d} = 1 - \frac{W_f}{W_d} \quad \Rightarrow \eta \leq 0$$

- ✓ 当 $\eta = 0$ 时，机械处于临界自锁状态；
- ✓ 当 $\eta < 0$ 时，其绝对值越大，表明自锁越可靠。

发生自锁的条件

1. 平面移动副的自锁条件

β —驱动力的作用角，也称传动角

将 F 分解为两个分力

$$F_n = F \cos \beta \quad F_t = F \sin \beta$$

接触面给滑块的法向反力： $F'_n = F_n$

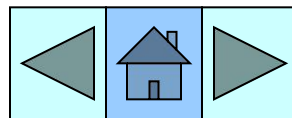
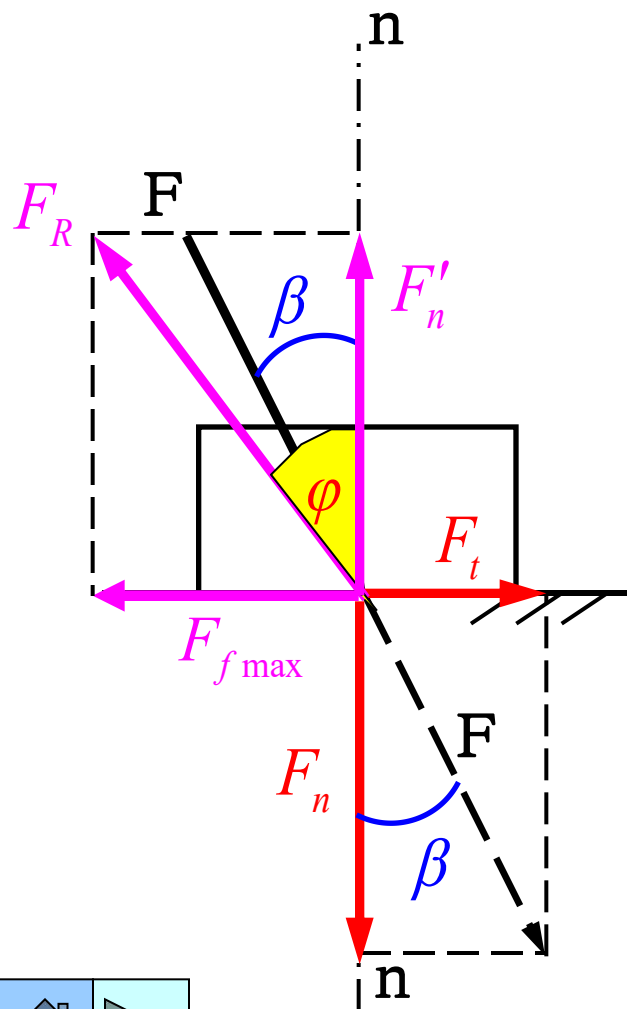
F_t 使物体具有向右水平滑动趋势

接触面给滑块的摩擦阻力：

$$F_{f \max} = F'_n \cdot f$$

全反力 F_R 与法线 $n-n$ 的夹角为 φ ，且有：

$$F_{f \max} = F'_n \tan \varphi$$



$$\begin{cases} F_{f\max} = F'_n \tan \varphi \\ F_t = F_n \tan \beta \end{cases}$$

当极限摩擦力 $F_{f\max}$ 大于或等于水平驱动力 F_t 时，滑块静止不动。即：

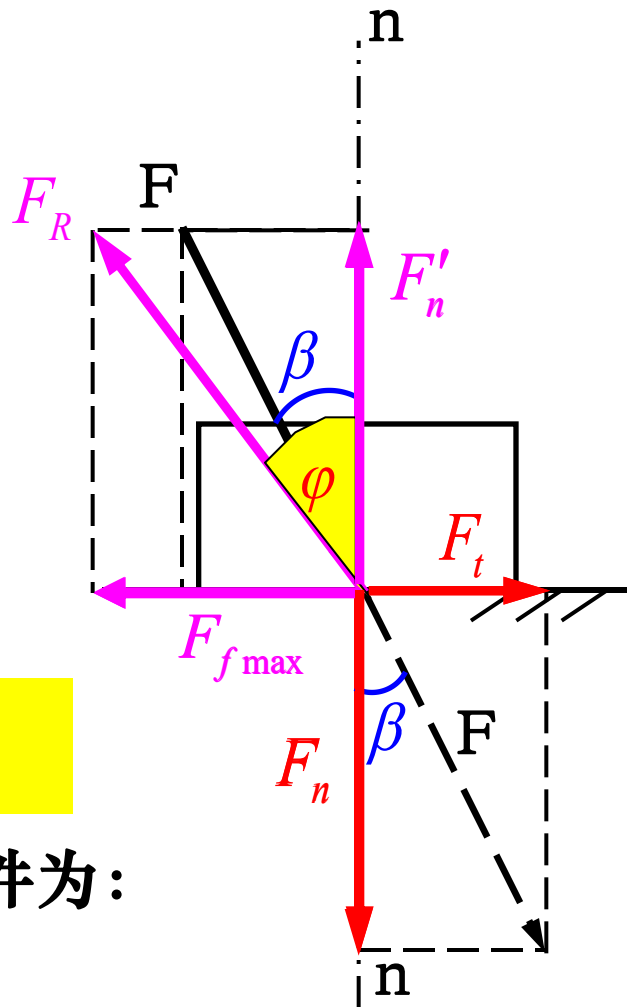
$$F_{f\max} \geq F_t \quad \Rightarrow \quad F'_n \tan \varphi \geq F_n \tan \beta$$

由于： $F'_n = F_n$

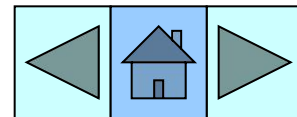
$$\text{得出：} \tan \varphi \geq \tan \beta \quad \Rightarrow \quad \varphi \geq \beta$$

由上述推导可知，平面移动副的自锁条件为：

$$\varphi \geq \beta \quad \text{或：} \quad \beta \leq \varphi$$



结论：当 $\beta \leq \varphi$ ，无论驱动力 F 如何增大，水平驱动力 F_t 总是小于驱动力 F 引起的极限摩擦力 $F_{f\max}$ ，因而不能使滑块运动，这就是自锁现象。



自锁条件：驱动力 F 作用在摩擦角 φ 之内。

小结：

(1) 移动副自锁条件：

$$\beta < \varphi$$

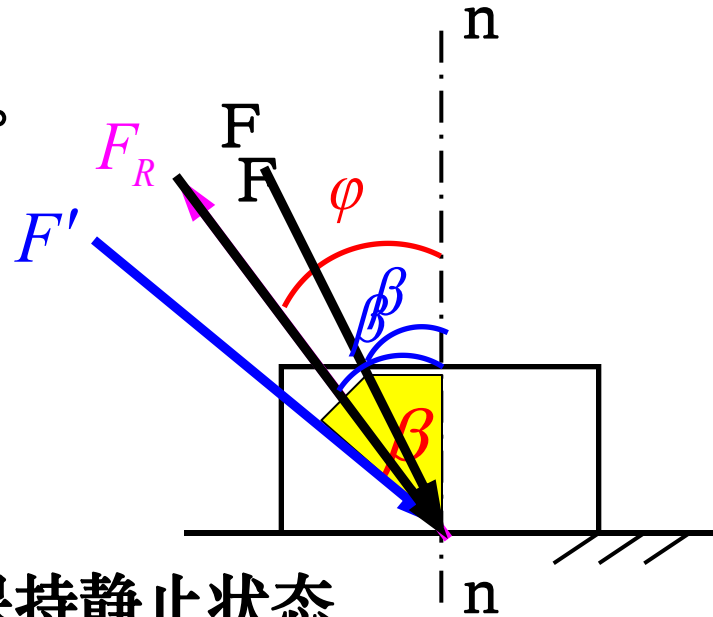
(2) 在下列三种情况下：

如果原来是静止的，则将仍然保持静止状态

如果原来在运动，将减速直至静止不动

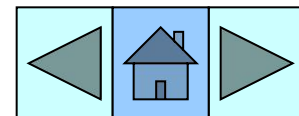
在 F 作用下，滑块匀速滑动（或处于临界状态）；

在 F 作用下（ F 必须足够大），滑块将加速滑动；



易混淆的概念点：▲自锁状态（ $\beta < \varphi$ ）下滑块的不能动，
▲非自锁状态下（ $\beta > \varphi$ ）下滑块的不能动。

前者为几何条件所致，后者为力不够大所致。



2. 平面转动副的自锁条件

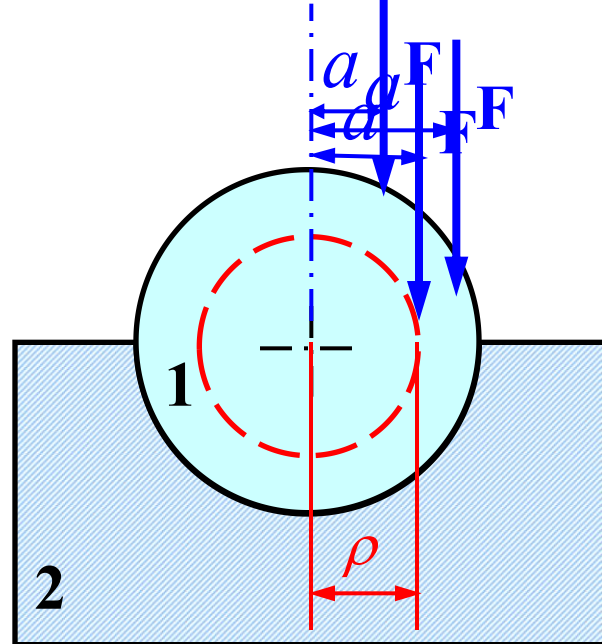
当作用在轴颈 **1** 上的力 **F** 的作用线在摩擦圆之内时，形成自锁条件：

$$a < \rho$$

无论 **F** 怎样增大，都不能驱使轴颈转动，此即转动副的自锁现象。

小结：

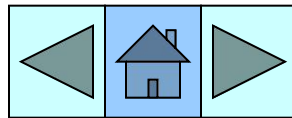
- $a < \rho$ { 如果原来在转动，将减速直至静止不动
如果原来是静止的，则将仍然保持静止状态
- $a = \rho$ 轴颈在 **F** 力作用下，匀角速度顺时针转动；
- $a > \rho$ 轴颈在 **F** 力作用下 (**F** 足够大)，顺时针加速转动。



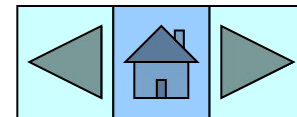
易混淆的概念点：▲自锁状态 ($a < \rho$) 下轴颈的不能转动

▲非自锁状态下 ($a > \rho$) 下轴颈的不能转动。

前者为几何条件所致，后者为力不够大所致。



还可从下列角度描述自锁现象：



(1) 从效率的角度描述自锁现象

当机械出现自锁时，无论驱动力多大，都不能运动，从能量的观点来看，就是：驱动力做的功永远 \leq 由其引起的摩擦力所做的功
即 $P_f > P_d$ ，由效率公式：

$$\eta = 1 - \frac{P_f}{P_d} \quad \text{可知，当自锁发生时，} \quad \eta = 1 - \frac{P_f}{P_d} < 0$$

即：用效率描述自锁的结论为： $\eta < 0$

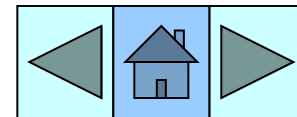
(2) 从工作阻力的角度描述自锁现象

$$\eta = G / G_0 \leq 0 \quad \Rightarrow \quad G \leq 0$$

如果希望物体在驱动力下移动（或转动） 只有将阻力 Q 反方向作用在物体上，否则，无论驱动力多大，物体都不会运动。

即：用工作阻力描述自锁的结论为： $Q < 0$

3. 自锁



(1) 移动副的自锁条件

$$\beta < \varphi$$

(2) 转动副的自锁条件

$$\alpha < \rho$$

(3) 用效率描述自锁

$$\eta < 0$$

(4) 从工作阻力描述自锁

$$Q < 0$$

例1 图示滑块在驱动力 P 作用下沿斜面上滑（此为正行程），当驱动力由 P 减小至 P' 时，滑块会在自重的作用下又沿斜面下滑的趋势。问：

1. 正行程时，滑块是否会自锁？
2. 反行程时滑块的自锁条件？

解： 1. （1）分析受力如图示

（2）列力平衡方程式

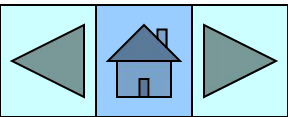
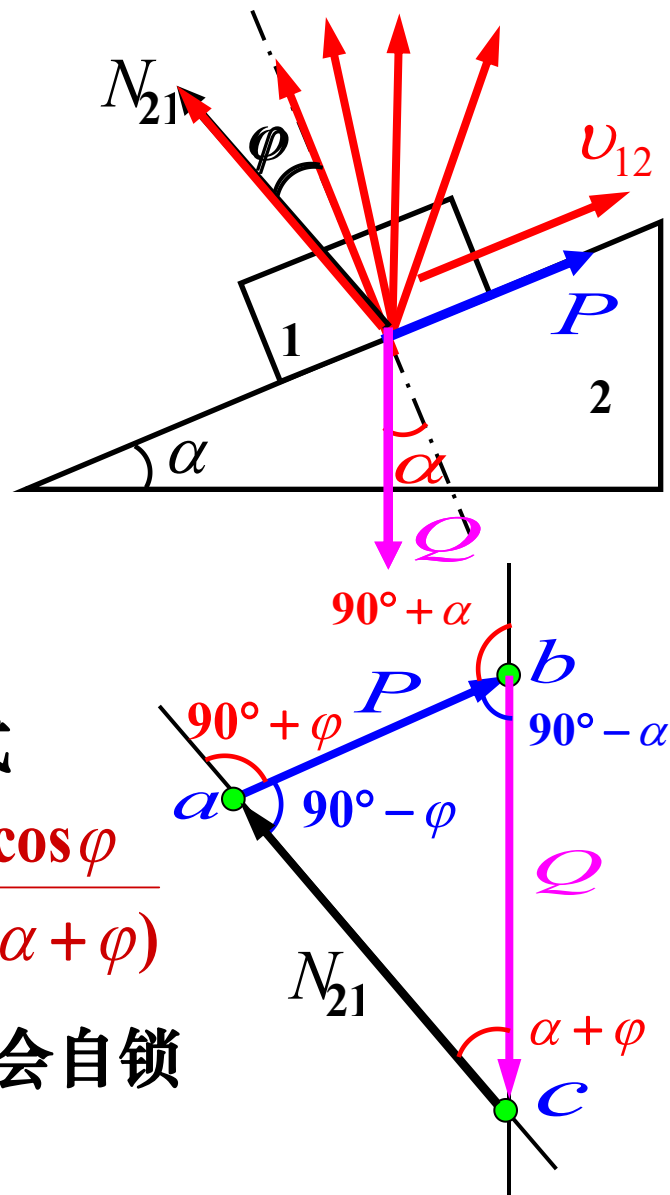
$$\vec{P} + \vec{Q} + \vec{N}_{21} = \vec{0}$$

（3）作力封闭多边形

（4）列出驱动力 P 和阻力 Q 的关系式

$$\frac{P}{\sin(\alpha + \varphi)} = \frac{Q}{\sin(90^\circ - \varphi)} \Rightarrow Q = \frac{P \cos \varphi}{\sin(\alpha + \varphi)}$$

因为 Q 不会小于等于零，故正行程不会自锁



2. 求反行程时滑块的自锁条件

当原驱动力由 **P** 减小至 **P'** 时，滑块将在其重力 **Q** 的作用下沿斜面下滑的趋势（注意，此时 **P'** 为阻力，**Q** 为驱动力）

(1) 分析受力如图示

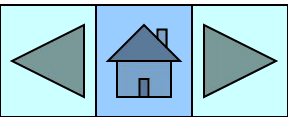
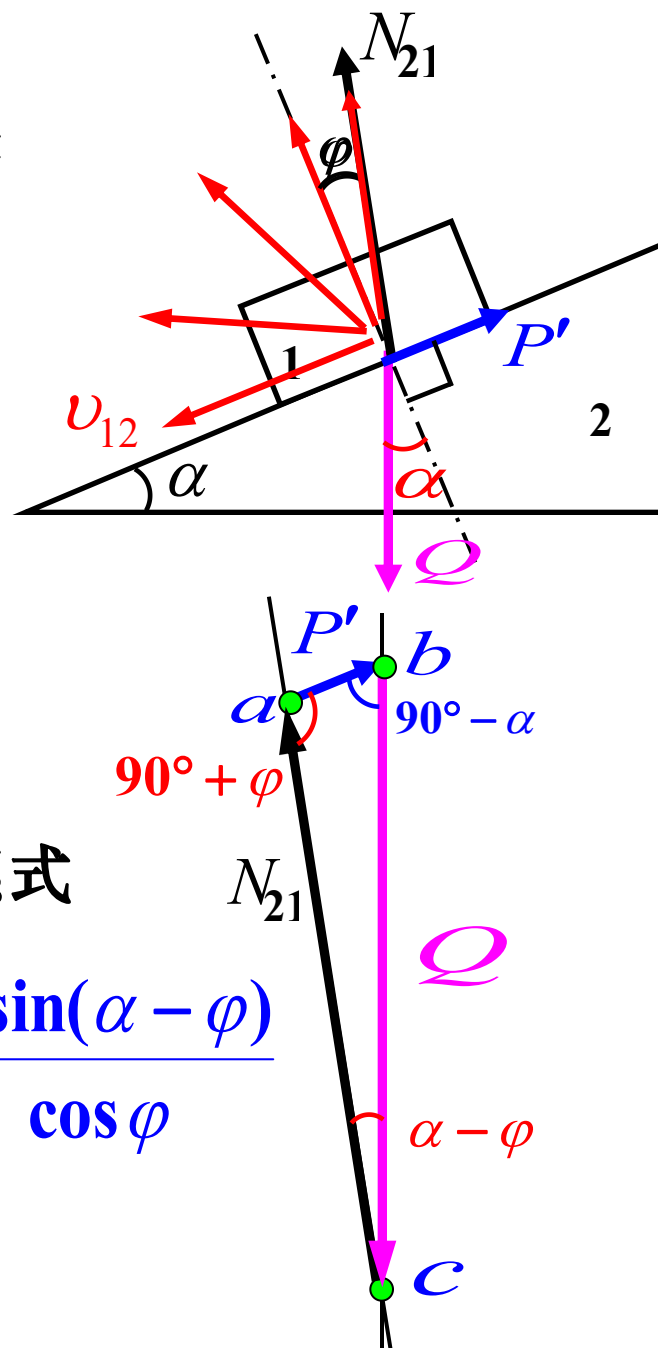
(2) 列力平衡方程式

$$\vec{P'} + \vec{Q} + \vec{N_{21}} = 0$$

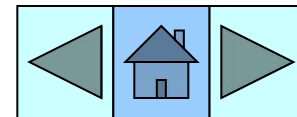
(3) 作力封闭多边形

(4) 列出驱动力 **Q** 和阻力 **P'** 的关系式

$$\frac{P'}{\sin(\alpha - \varphi)} = \frac{Q}{\sin(90^\circ + \varphi)} \quad \Rightarrow \quad P' = \frac{Q \sin(\alpha - \varphi)}{\cos \varphi}$$



(5) 求反行程自锁条件



i 按阻力求自锁条件

令: $P' = \frac{Q \sin(\alpha - \varphi)}{\cos \varphi} < 0 \Rightarrow \sin(\alpha - \varphi) < 0$

$\Rightarrow (\alpha - \varphi) < 0 \Rightarrow \alpha < \varphi$

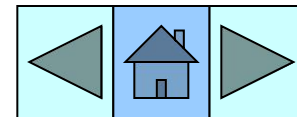
ii 按效率求自锁条件 $\eta < 0$

实际工作阻力: $P' = \frac{Q \sin(\alpha - \varphi)}{\cos \varphi}$

理想工作阻力 $P'_0 = \frac{Q \sin(\alpha - \varphi)}{\cos \varphi} = \frac{Q \sin(\alpha - 0)}{\cos 0} = Q \sin \alpha$

$\eta = \frac{\text{实际工作阻力}}{\text{理想工作阻力}} = \frac{P'}{P'_0} = \frac{\cancel{Q} \sin(\alpha - \varphi)}{\cos \varphi \cdot \cancel{Q} \sin \alpha} < 0 \Rightarrow \alpha < \varphi$

该题难点：力多边形角度确定



该类问题解题技巧

正行程 Q 与 P 的表达式 反行程 Q 与 P' 的表达式

$$P = \frac{Q \sin(\alpha + \varphi)}{\cos \varphi}$$

$$P' = \frac{Q \sin(\alpha - \varphi)}{\cos \varphi}$$

- (1) 正、反行程表达式中， φ 的符号不同；
- (2) 正、反行程表达式中， Q 、 P (P') 的意义不同

结论：在求反行程自锁条件时，只需求出正行程 Q 与 P 的表达式，反行程式在此基础上将 φ 反号；将 P 换成 P' ，并将驱动力、阻力角色互换。

例2 图示滑块在驱动力 P 作用下沿斜面上滑（此为正行程），当驱动力由 P 减小至 P' 时，滑块会在自重的作用下有沿斜面下滑的趋势。**问：**

1. 正行程时，滑块是否会自锁？
2. 反行程时滑块的自锁条件？

解： 1. (1) 分析受力如图示

(2) 列力平衡方程式

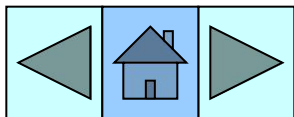
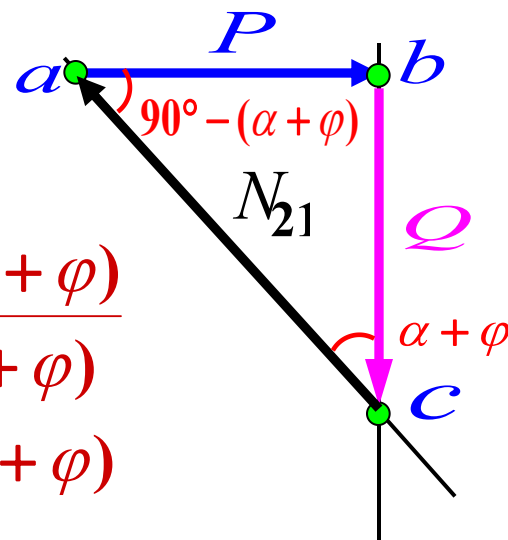
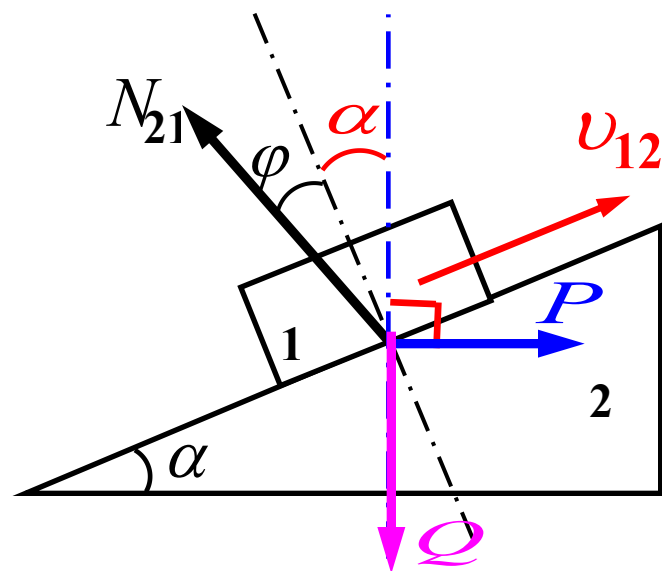
$$\vec{P} + \vec{Q} + \vec{N}_{21} = 0$$

(3) 作力封闭多边形

(4) 列出驱动力 P 和阻力 Q 的关系式

$$\frac{P}{\sin(\alpha + \varphi)} = \frac{Q}{\sin(90^\circ - (\alpha + \varphi))} \Rightarrow P = \frac{Q \sin(\alpha + \varphi)}{\cos(\alpha + \varphi)}$$

$$= Q \tan(\alpha + \varphi)$$



$$\eta = \frac{P_0}{P} \quad P_0 = Q \tan(\alpha + 0) = Q \tan \alpha \quad P = Q \tan(\alpha + \varphi)$$

$$\eta = \frac{P_0}{P} = \frac{Q \tan \alpha}{Q \tan(\alpha + \varphi)} = \frac{\tan \alpha}{\tan(\alpha + \varphi)} \quad \text{令: } \eta < 0$$

故正行程自锁条件为: $\alpha + \varphi > 90^\circ \Rightarrow \alpha > 90^\circ - \varphi$

(5) 求反行程自锁条件

由正行程驱动力 P 与阻力 Q 的关系式 $P = Q \tan(\alpha + \varphi)$

可得反行程驱动力 Q 与阻力 P' 的关系式 $P' = Q \tan(\alpha - \varphi)$

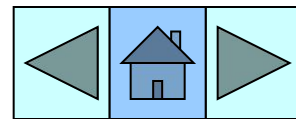
问: 该题自锁条件怎样用阻力表示?

$$P' = Q \tan(\alpha - \varphi)$$

$$\eta = \frac{\text{实际阻力}}{\text{理想阻力}} = \frac{Q \tan(\alpha - \varphi)}{Q \tan(\alpha - 0)} = \frac{\tan(\alpha - \varphi)}{\tan \alpha}$$

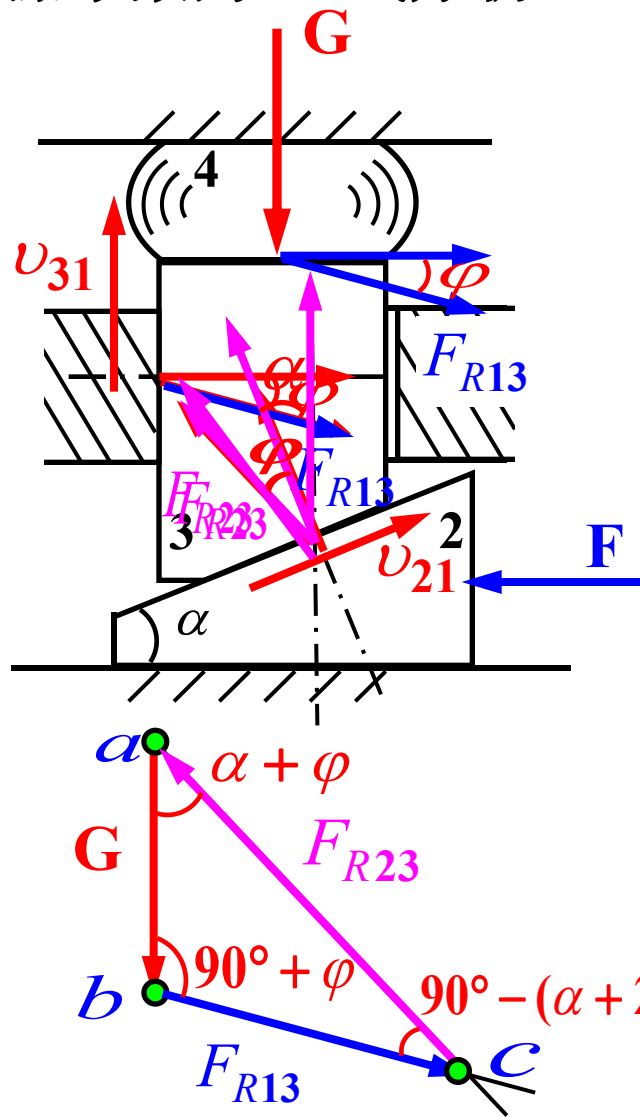
$$\text{令: } \eta < 0 \Rightarrow \tan(\alpha - \varphi) < 0 \Rightarrow (\alpha - \varphi) < 0$$

故反行程自锁条件为: $\alpha < \varphi$



例3 图示为一斜面夹具机构简图。下滑块2上作用有力 F ，推动滑块3向上运动，夹紧工件4， G 为夹紧的工件4给滑块3的反作用力（假定为已知），设各表面的摩擦系数为 f 。试分析：

1. 为产生对工件4 的夹紧力 G ,在滑块2 上需加多大的推力 F ;
2. 当撤掉 F 后，工件可能松脱，问：为防止松脱，至少应在滑块2 上维持多大的力 F' ？
3. 滑块在 G 作用下的自锁条件。



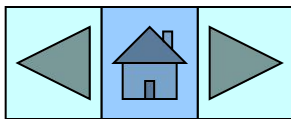
解： 1. 求夹紧工件所需的推力 F ;

(1) 取滑块3 为研究对象

在 F 的作用下，滑块3有向上滑动的趋势

(2) 列平衡方程式 $\vec{G} + \vec{F}_{R13} + \vec{F}_{R23} = 0$

(3) 作力封闭多边形



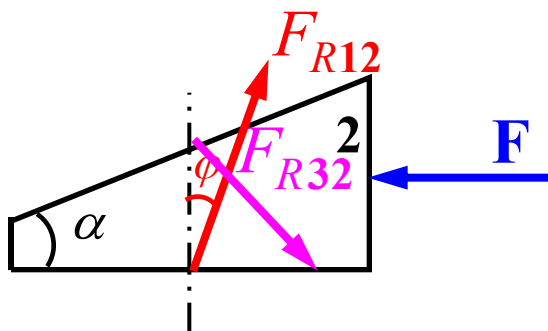
(4) 列出力 G 和力 F_{R23} 的关系式

$$\frac{G}{\sin(90^\circ - (\alpha + 2\varphi))} = \frac{F_{R23}}{\sin(90^\circ + \varphi)}$$

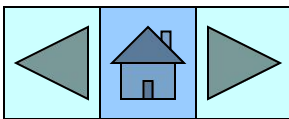
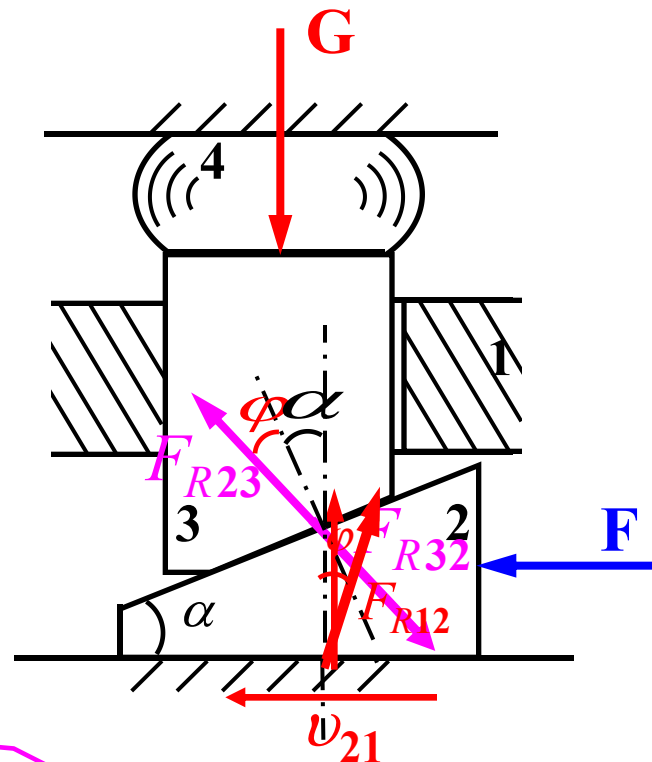
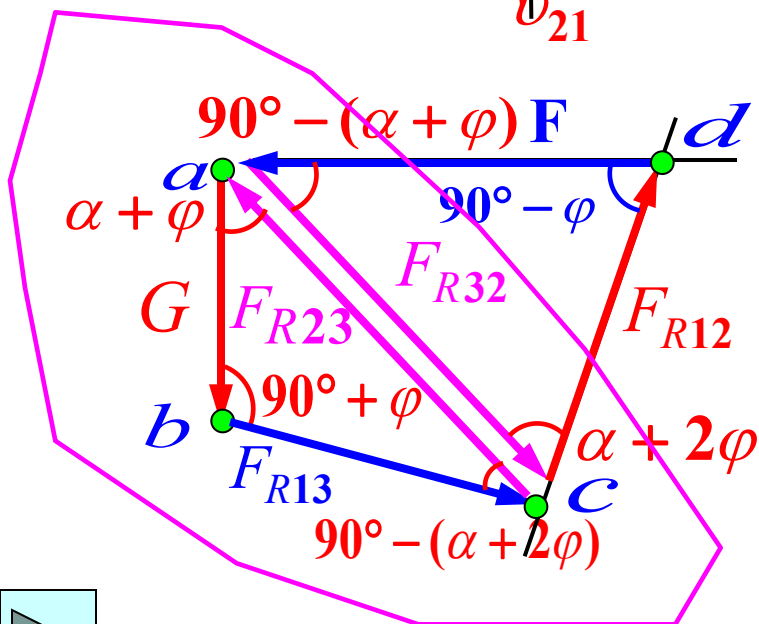
→
$$\frac{G}{\cos(\alpha + 2\varphi)} = \frac{F_{R23}}{\cos \varphi}$$

$$F_{R23} = \frac{G \cos \varphi}{\cos(\alpha + 2\varphi)}$$

(5) 取滑块 1 为分离体分析受力



(6) 作力封闭多边形



(7) 列出驱动力 **F** 和力 **F_{R32}** 的关系式

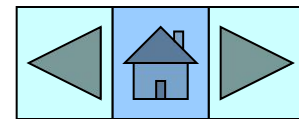
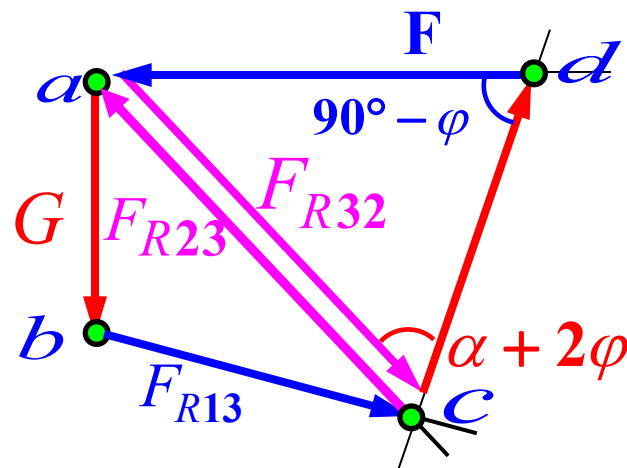
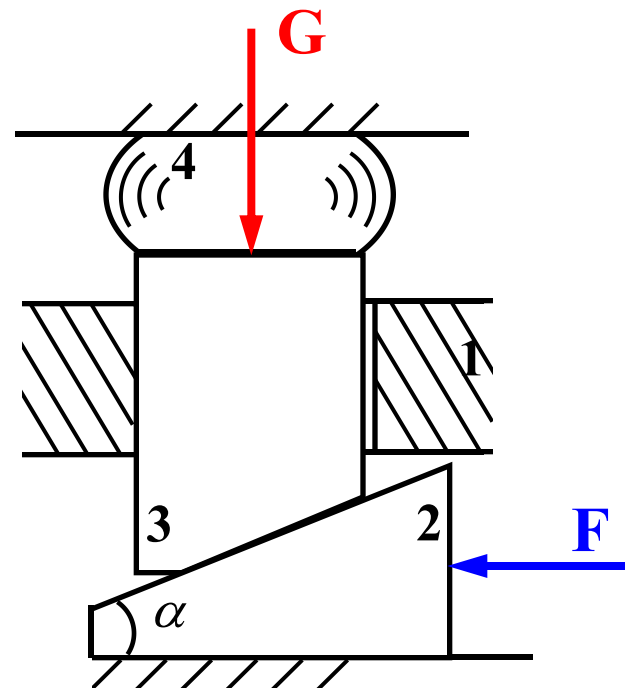
$$\frac{F}{\sin(\alpha + 2\varphi)} = \frac{F_{R32}}{\sin(90^\circ - \varphi)}$$

$$F = \frac{F_{R32} \sin(\alpha + 2\varphi)}{\cos \varphi}$$

$$F_{R32} = F_{R23} = \frac{G \cos \varphi}{\cos(\alpha + 2\varphi)}$$

$$F = \frac{G \cancel{\cos \varphi}}{\cos(\alpha + 2\varphi)} \cdot \frac{\sin(\alpha + 2\varphi)}{\cancel{\cos \varphi}}$$

$$\Rightarrow F = G \tan(\alpha + 2\varphi)$$



2. 当撤掉**F**后，工件可能松脱，问：
为防止松脱，至少应在滑块**2**上
维持多大的力**F'**？

该问属于反行程问题，此时**G**为
驱动力，**F'**为阻力。

由正行程力的表达式：

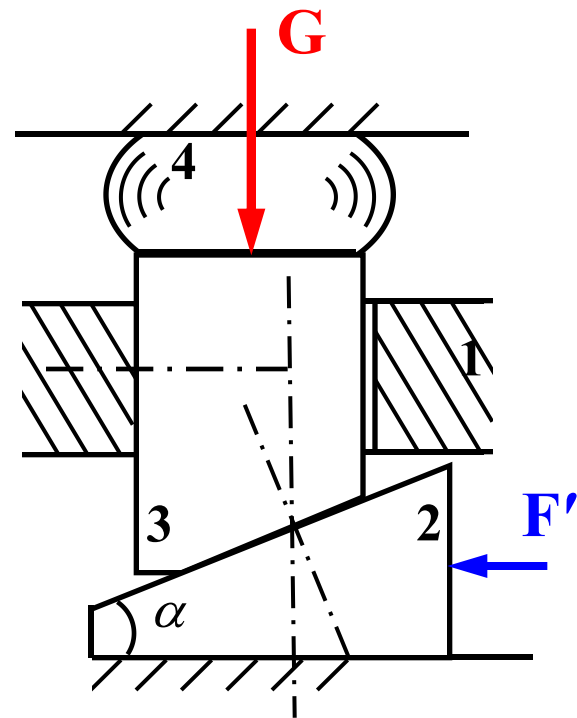
$$F = G \tan(\alpha + 2\varphi)$$

得出反行程力的表达式

$$F' = G \tan(\alpha - 2\varphi)$$

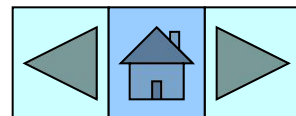
3. 滑块在**G**作用下的自锁条件。

$$\eta = \frac{\text{实际工作阻力}}{\text{理想工作阻力}} = \frac{G \tan(\alpha - 2\varphi)}{G \tan \alpha} < 0$$



解得反行程自锁条件：

$$\alpha < 2\varphi$$



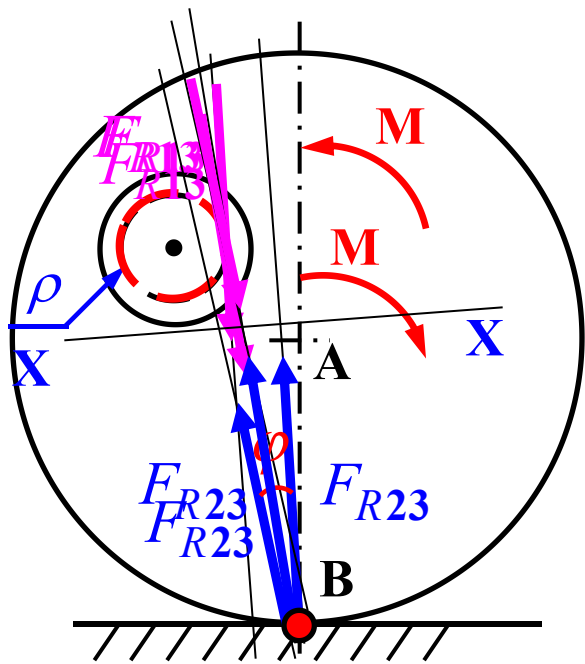
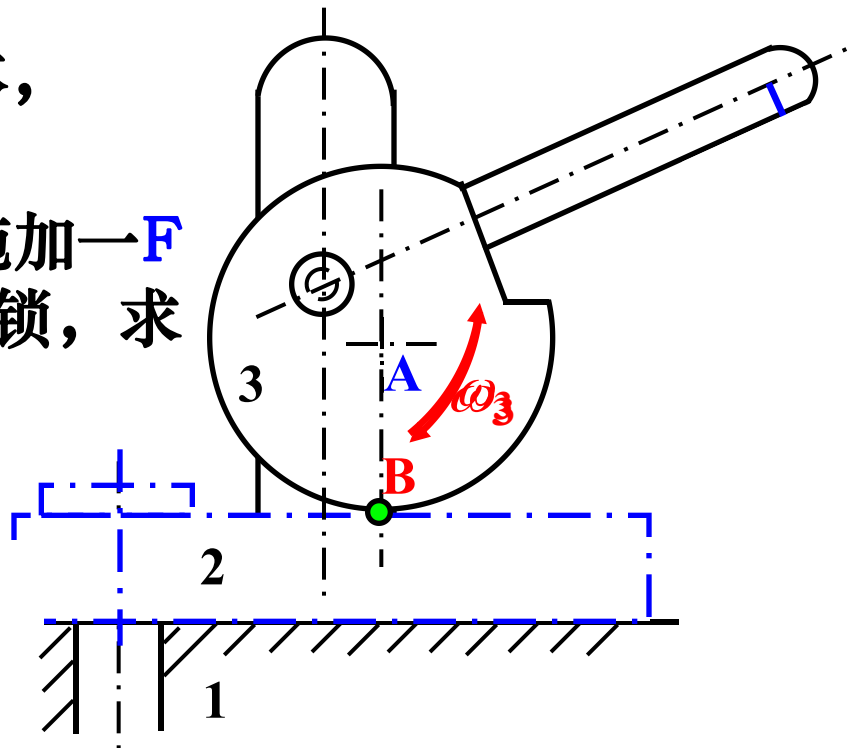
例4. 图示为一偏心夹具，**1**为夹具体，

2为工件，**3**位偏心圆盘。

为了夹紧工件，在偏心盘手柄上施加一**F**力，当**F**去掉后，要求该夹具能自锁，求该夹具的自锁条件。

解：分析 反力为： F_{R23} 、 F_{R13}

问题： 反力如何作用会有阻力矩？

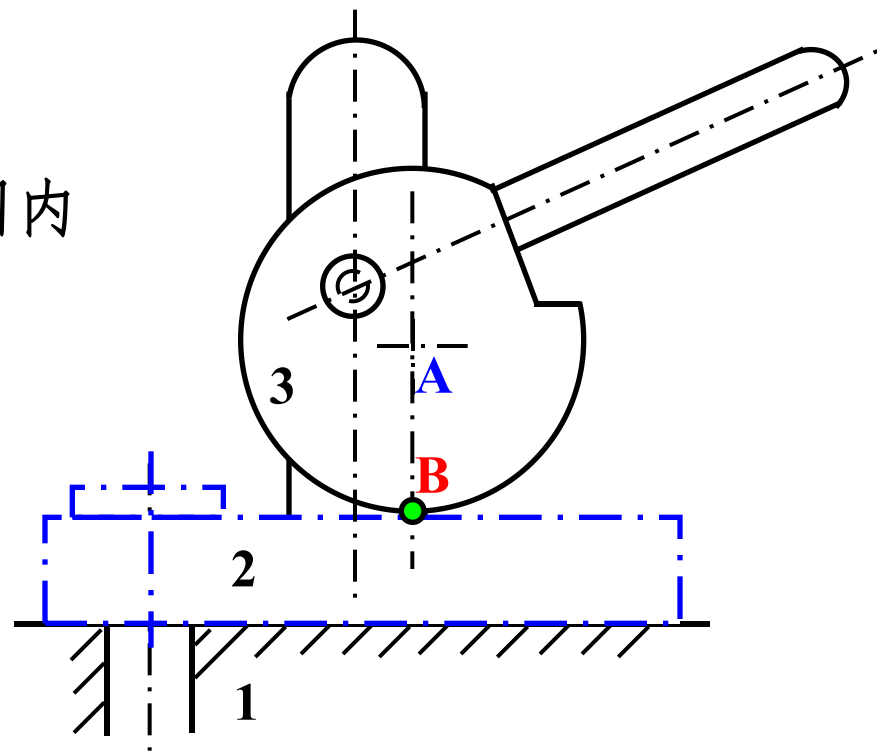


在**F**力作用下，工件夹紧，偏心盘顺时针转向；

在**F**力撤除后，偏心盘松脱趋势为逆时针转向。

只有当偏心盘在反力作用下产生顺时针作用的阻力矩时，机构具有自锁功能

用几何条件表示为: $S - S_1 < \rho$



$$S - S_1 = e \sin(\delta - \varphi) - \frac{D}{2} \sin \varphi \leq \rho$$

例5. 图示为凸轮机构，推杆**1**在凸轮**3**推力**F**的作用下，沿着导轨**2**向上运动，摩擦面的摩擦系数为**f**。为了避免发生自锁，试问导轨的长度 **l** 应满足什么条件。

解：分析

(1) 在力 **F** 的作用下，推杆有逆时针偏转的趋势，故在**A**、**B**两点与导轨接触，由力平衡条件：

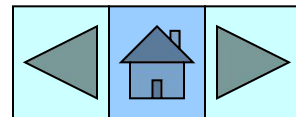
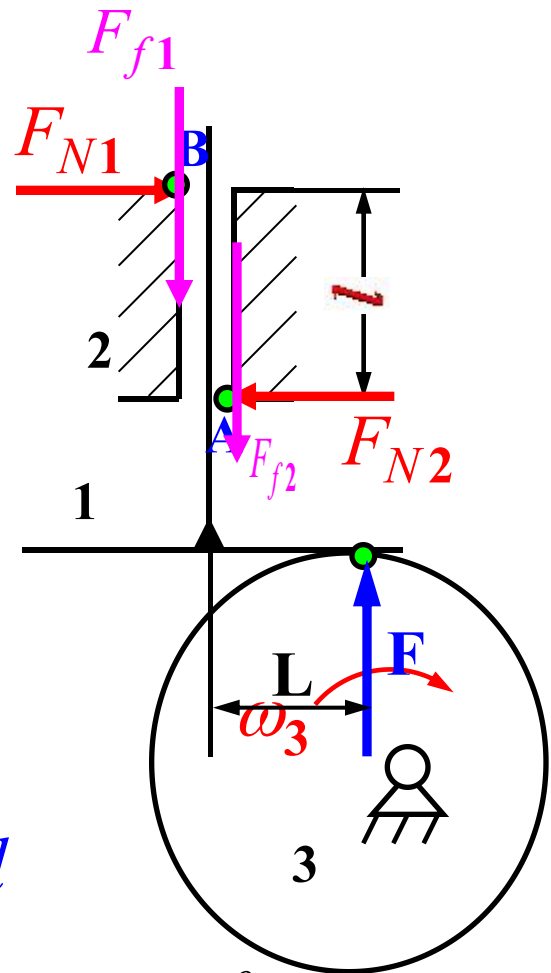
$$\sum F_{iX} = 0 \quad F_{N1} = F_{N2}$$

$$\sum M_{Ai} = 0 \quad F_{N1}l = FL \quad \longrightarrow \quad F_{N1} = F \cdot L / l$$

由**F_N**引起的摩擦力为： $F_{f1} = F_{f2} = F_{N1} \cdot f = F_{N2} \cdot f$

(2) 不自锁条件为：

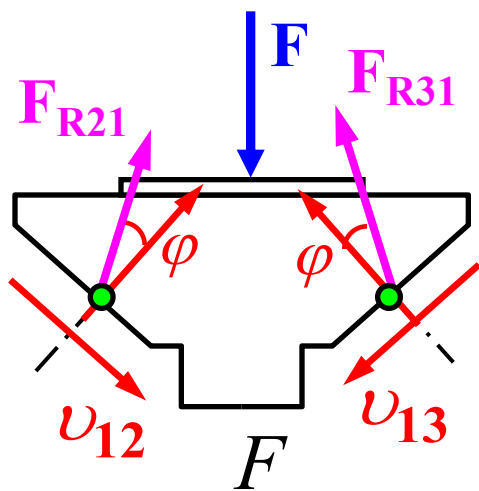
$$F > \sum F_f = 2f \cdot F_{N1} = 2f \cdot F \cdot L / l \quad \longrightarrow \quad l > 2f \cdot L$$



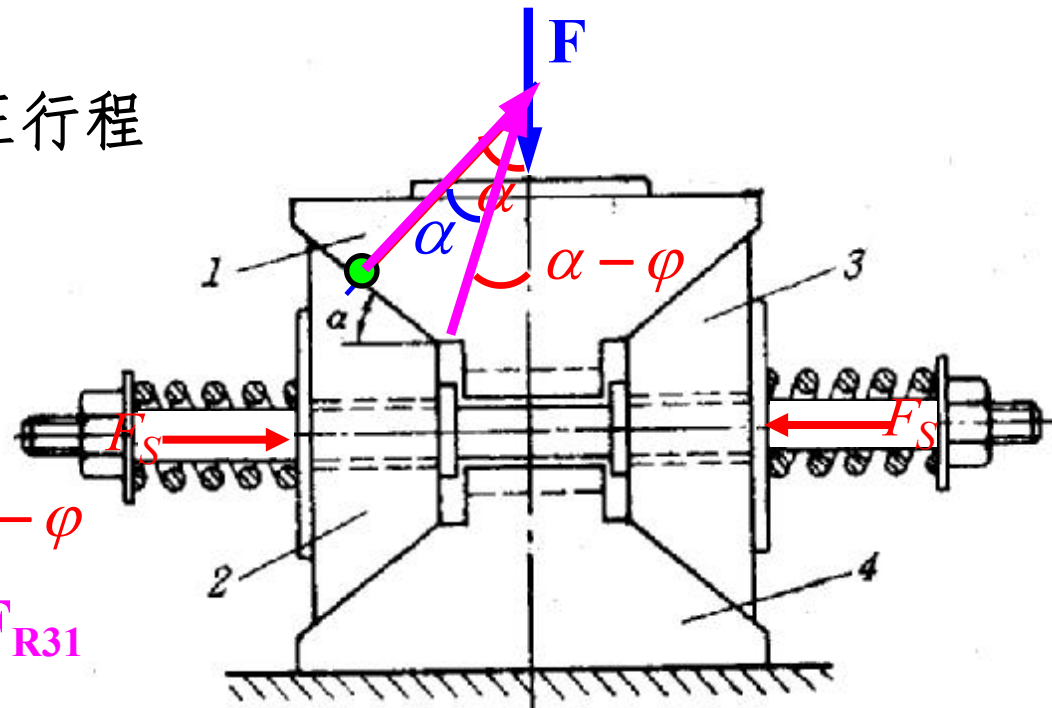
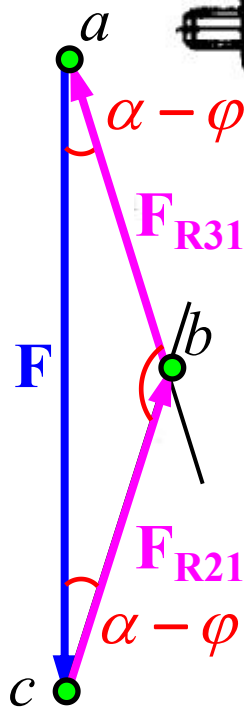
例6. 在图示的缓冲器中，若已知各楔块接触面间的摩擦系数 f 及弹簧的压力 F_s ，试求当楔块 2、3 被等速推开及等速恢复原位时力 F 的大小，该机构的效率以及此缓冲器正、反行程均不至发生自锁的条件。

解： 1. 楔块 2、3 被推开为正行程

分别取块 1、2 分析受力

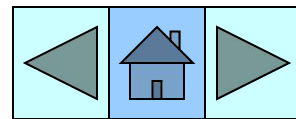


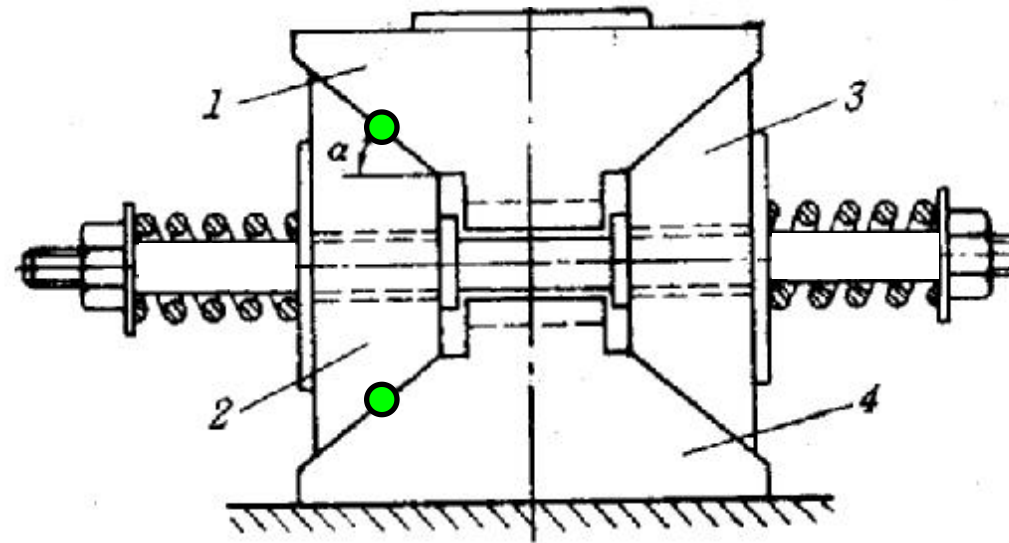
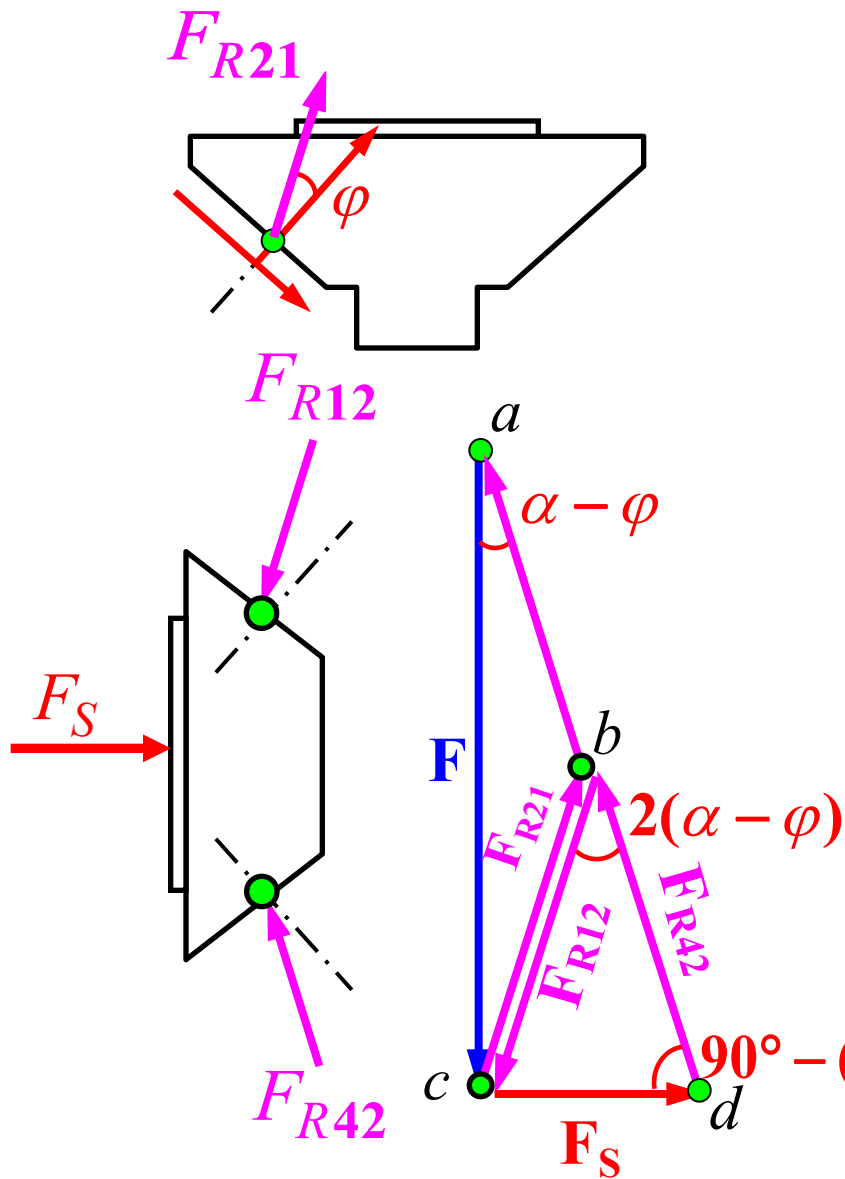
$$\frac{\sin(180^\circ - 2(\alpha - \varphi))}{F} = \frac{F_{R21}}{\sin(\alpha - \varphi)}$$



$$F_{R21} = \frac{F \sin(\alpha - \varphi)}{\sin(180^\circ - 2(\alpha - \varphi))}$$

$$F_{R21} = \frac{F}{2 \cos(\alpha - \varphi)}$$

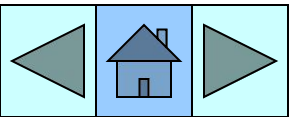




$$\frac{F_S}{\sin 2(\alpha - \varphi)} = \frac{F_{R12}}{\sin(90^\circ - (\alpha - \varphi))}$$

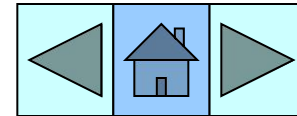
$$F_{R12} = \frac{F_S \cos(\alpha - \varphi)}{2 \sin(\alpha - \varphi) \cos(\alpha - \varphi)}$$

$$F_{12} = F_{21} = \frac{F}{2 \cos(\alpha - \varphi)}$$



联立两式求解：

$$\begin{cases} F_{R12} = \frac{F_S}{2\sin(\alpha - \varphi)} \\ F_{R12} = F_{R21} = \frac{F}{2\cos(\alpha - \varphi)} \end{cases}$$



得： $F_S = F \tan(\alpha - \varphi)$

令： $F_S < 0$ $F \tan(\alpha - \varphi) < 0$ $(\alpha - \varphi) < 0$

得正行程自锁条件为： $\alpha < \varphi$

得正行程不自锁条件为： $\alpha > \varphi$

正行程效率：

$$\eta = \frac{\text{实际工作阻力}}{\text{理想工作阻力}} = \frac{F \tan(\alpha - \varphi)}{F \tan \alpha} = \frac{\tan(\alpha - \varphi)}{\tan \alpha}$$

2. 楔块2、3等速恢复原位为反行程，此时 F_S 为驱动力，原驱动力 F 降至 F' 成为阻力。

正行程驱动力与阻力关系表达式：

$$F_S = F \tan(\alpha - \varphi) \quad F_S \text{ — 阻力} \quad F \text{ — 驱动力}$$

反行程驱动力与阻力关系表达式：

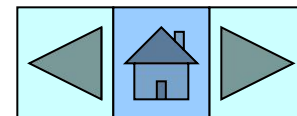
$$F_S = F' \tan(\alpha + \varphi) \quad F_S \text{ — 驱动力} \quad F' \text{ — 阻力}$$

$$\text{反行程自锁条件: } \eta' = \frac{F_{S0}}{F_S} = \frac{F' \tan \alpha}{F' \tan(\alpha + \varphi)} < 0$$

$$\Rightarrow (\alpha + \varphi) > 90^\circ \quad \Rightarrow \alpha > 90^\circ - \varphi$$

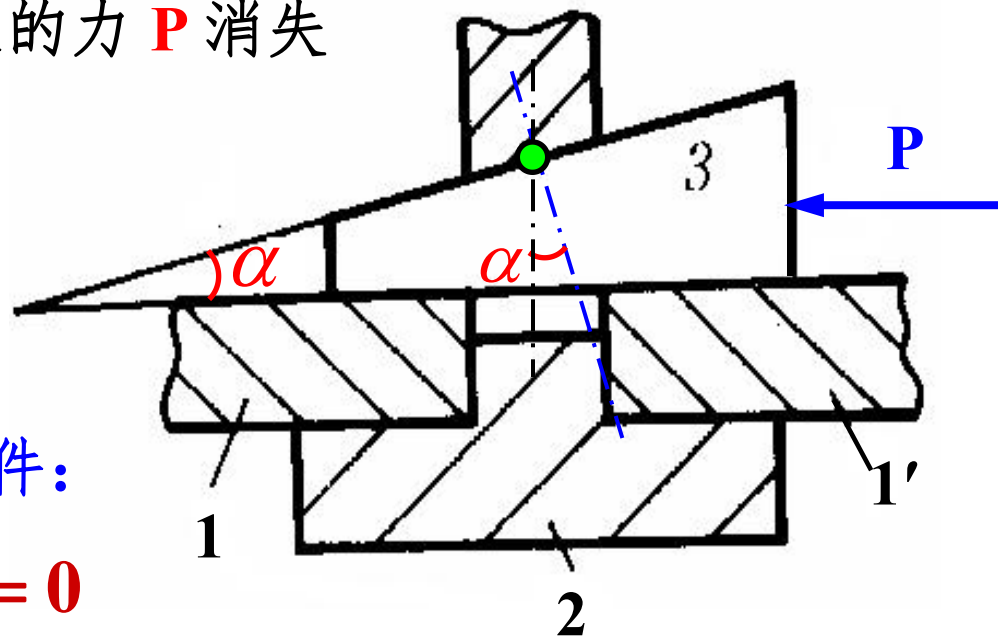
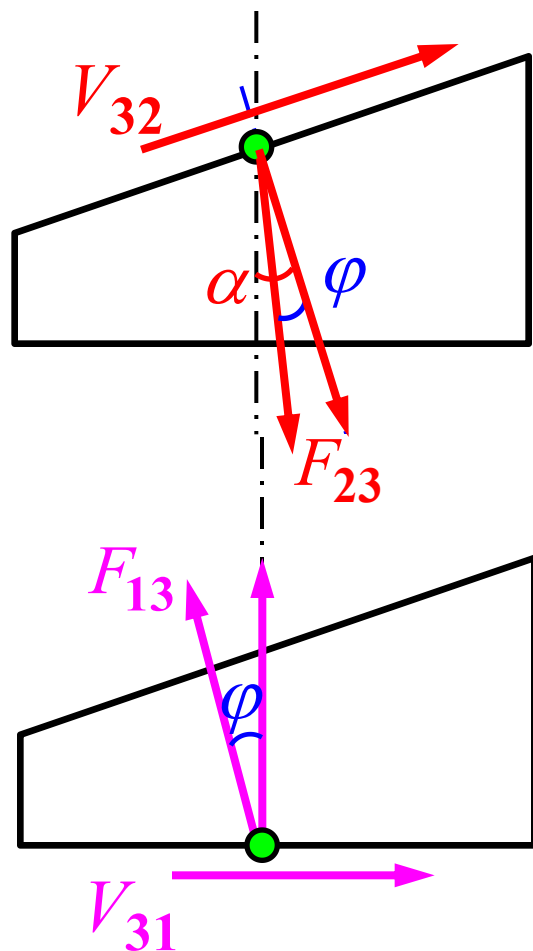
反行程不自锁条件: $\alpha < 90^\circ - \varphi$

正、反行程均不自锁条件: $\varphi < \alpha < 90^\circ - \varphi$



例7. 图示焊接用的楔形夹具，**1、1'** 为焊接工件，**2**为夹具体，**3**为楔块，各接触面间摩擦系数均为**f**，试确定此夹具的自锁条件(即当夹紧后，楔块**3**不会自动松脱出来的条件)。

解： 1. 夹紧后，作用在楔块上的力 **P** 消失



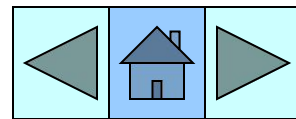
自锁条件：

$$\sum F_{yi} = 0$$

$$F_{23} \cos(\alpha - \varphi) = F_{13} \cos \varphi \quad (1)$$

$$\sum F_{xi} = 0$$

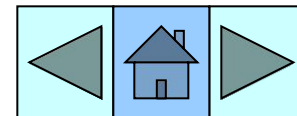
$$F_{13} \sin \varphi \geq F_{23} \sin(\alpha - \varphi) \quad (2)$$



$$\left\{ \begin{array}{l} F_{23} \cos(\alpha - \varphi) = F_{13} \cos \varphi \quad (1) \\ F_{13} \sin \varphi \geq F_{23} \sin(\alpha - \varphi) \quad (2) \end{array} \right.$$

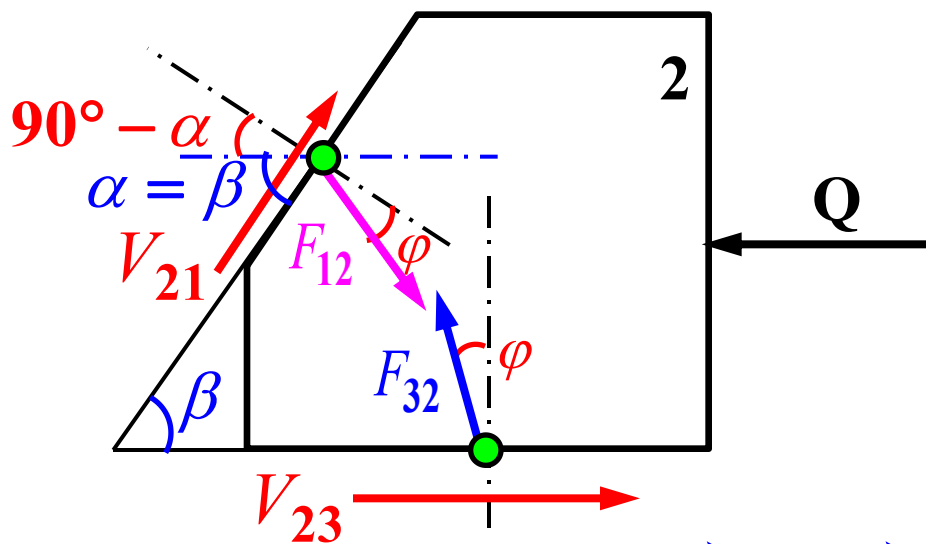
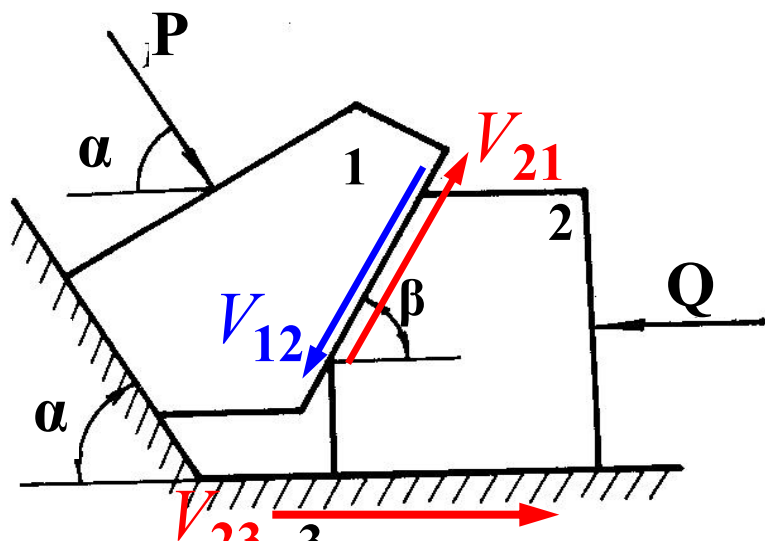
联立求解 (1) 、 (2) 得反行程自锁条件：

$$\alpha \leq 2\varphi$$

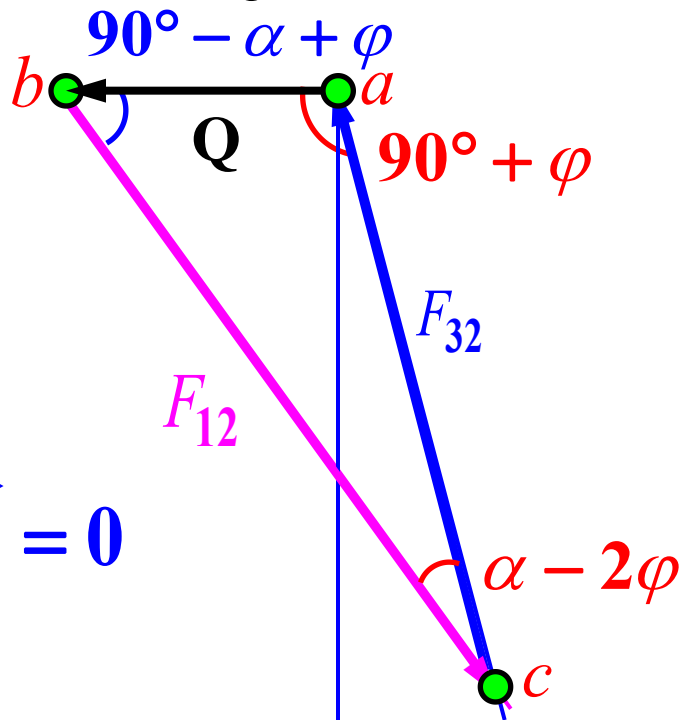


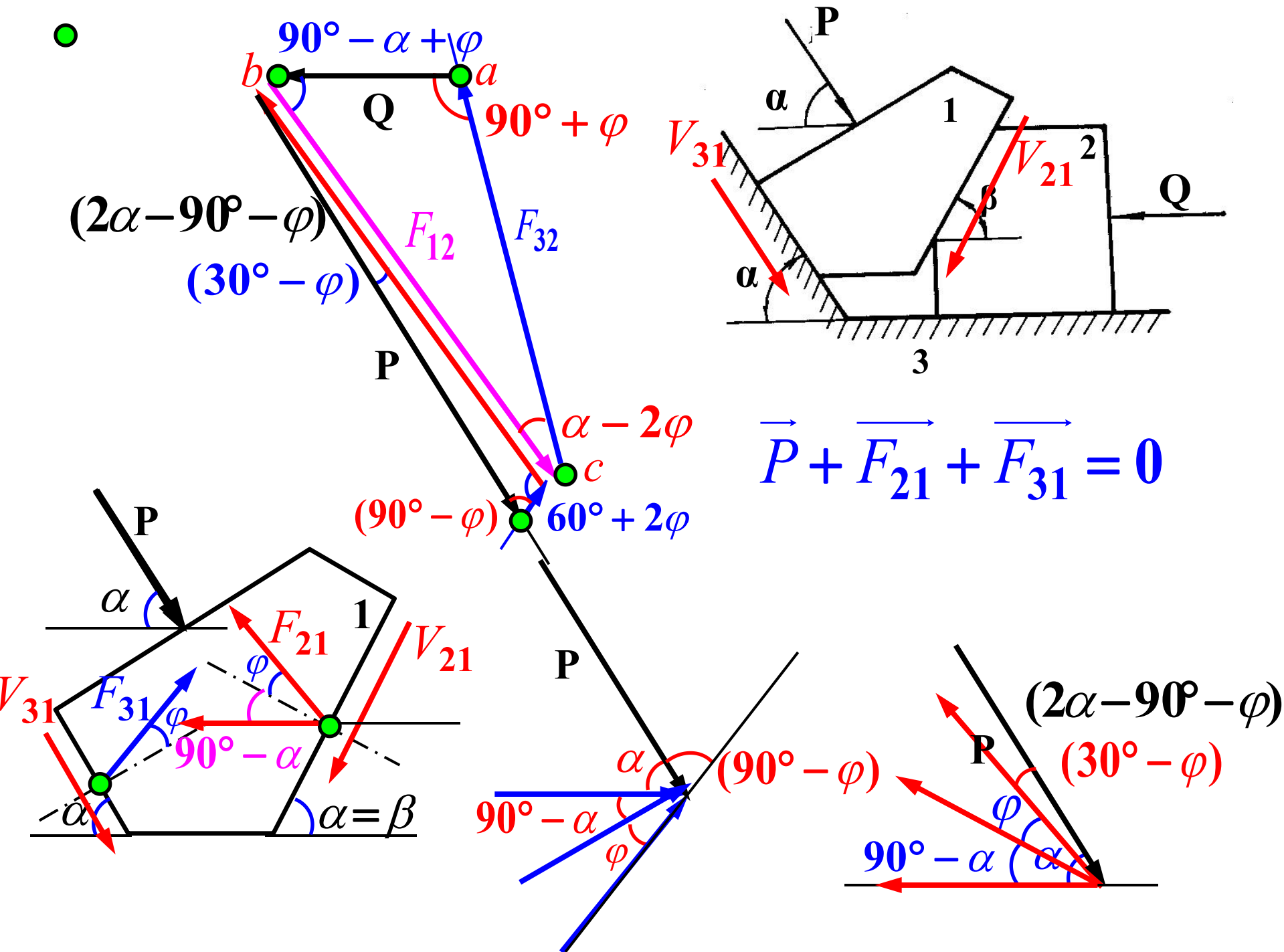
例8. 图示楔块机构。已知： $\alpha=\beta=60^\circ$ ，各摩擦面间的摩擦系数均为 $f=0.15$ ，阻力 $Q=1000\text{N}$ 。试：

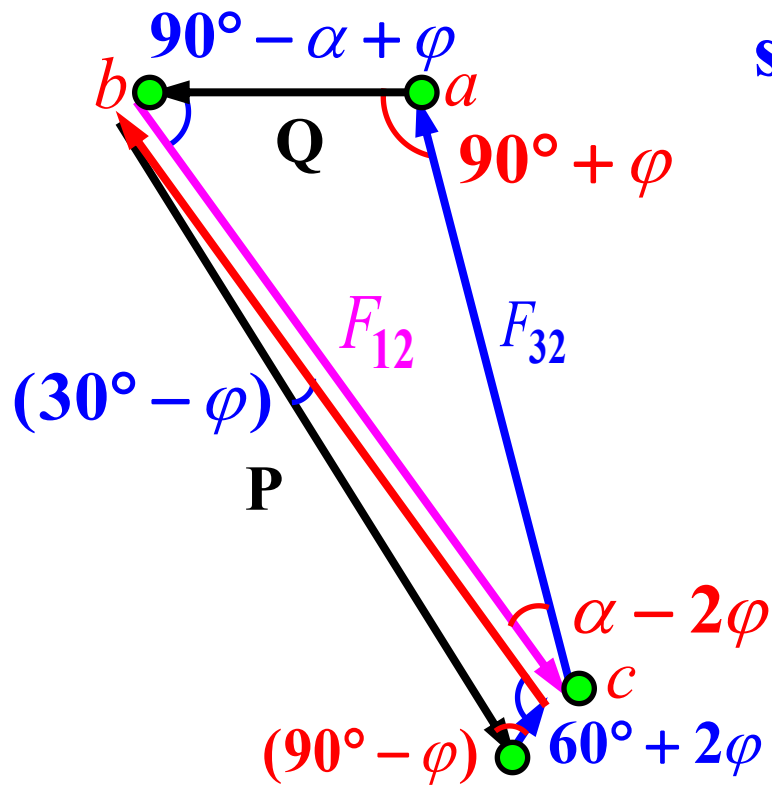
- (1) 画出各运动副的总反力；
- (2) 写出块1、2的力矢量方程式；
- (3) 画出力矢量多边形；
- (4) 用解析法求出驱动力 P 之值。



$$\vec{Q} + \vec{F}_{12} + \vec{F}_{32} = 0$$







$$\frac{Q}{\sin(\alpha - 2\varphi)} = \frac{F_{12}}{\sin(90^\circ + \varphi)}$$

$$F_{12} = \frac{Q \cos \varphi}{\sin(\alpha - 2\varphi)}$$

$$F_{21} = F_{12}$$

$$P = \frac{F_{21} \sin(60^\circ + 2\varphi)}{\sin(90^\circ - \varphi)}$$

$$= \frac{Q \cos \varphi}{\sin(\alpha - 2\varphi)} \cdot \frac{\sin(60^\circ + 2\varphi)}{\cos \varphi}$$

$$= \frac{Q \sin(60^\circ + 2\varphi)}{\sin(60^\circ - 2\varphi)}$$